

Robotique industrielle



M.CHERIF mehdi.cherif@ensam.eu



Activités autour de la robotique

- 1 cours en amphi
- 1 tp programmation HL Robotstudio
- 1 mini projet Robotstudio
- 1 tp Programmation manuelle (iiwa)



M.CHERIF mehdi.cherif@ensam.eu



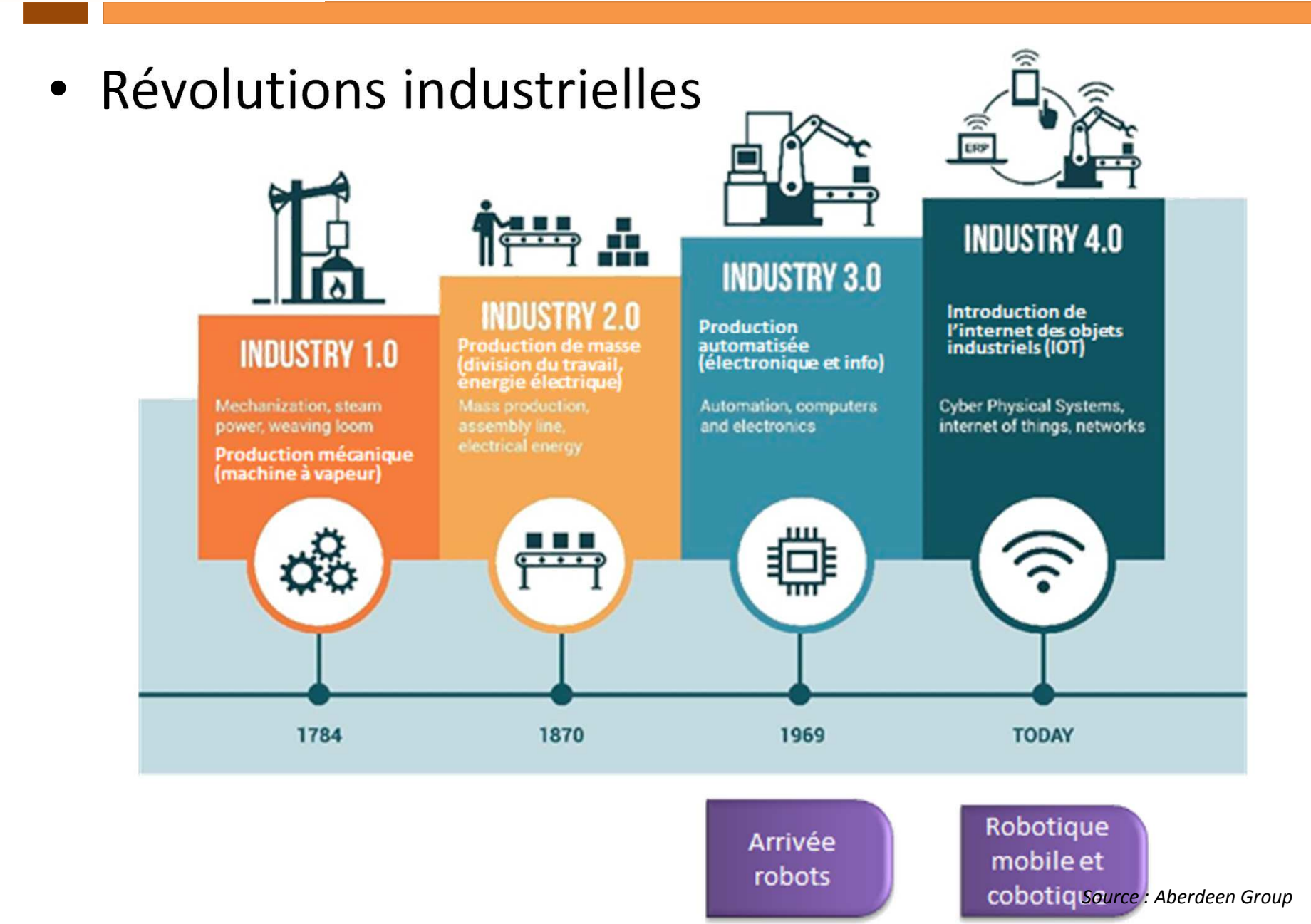
Robotique industrielle



M.CHERIF mehdi.cherif@ensam.eu



Quelques dates...





Quelques dates...



1961: 1^{er}

industriel:

Unimate

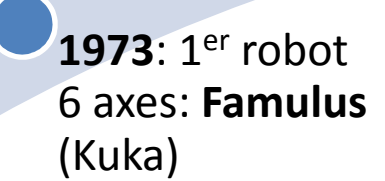
(General

Motors)

robot









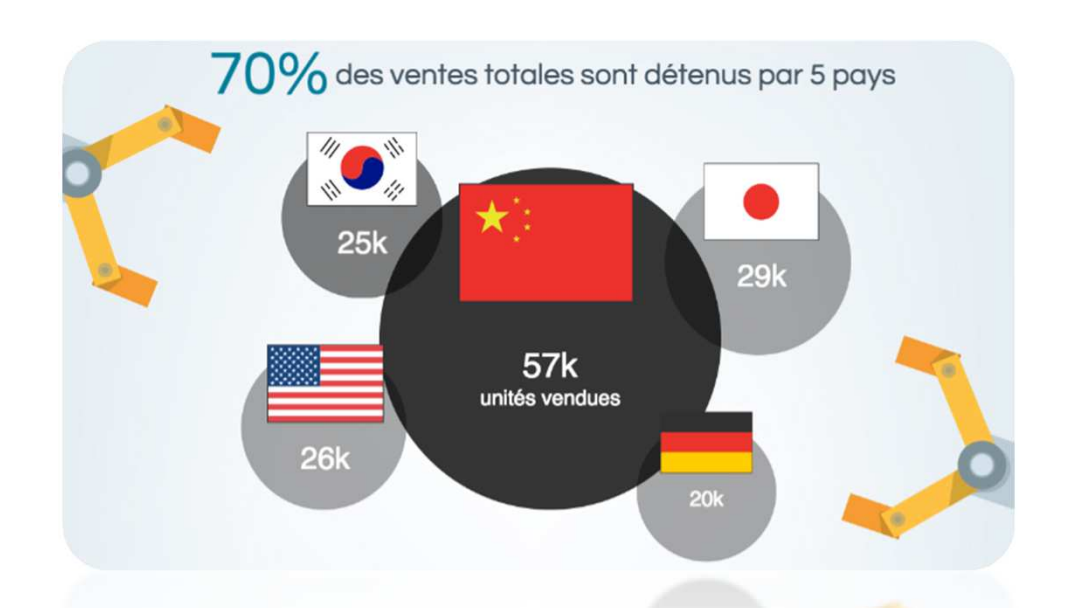
1985: 1^{er} robot avec un bras de manipulation formé de 3 parallélogrammes: **Delta**





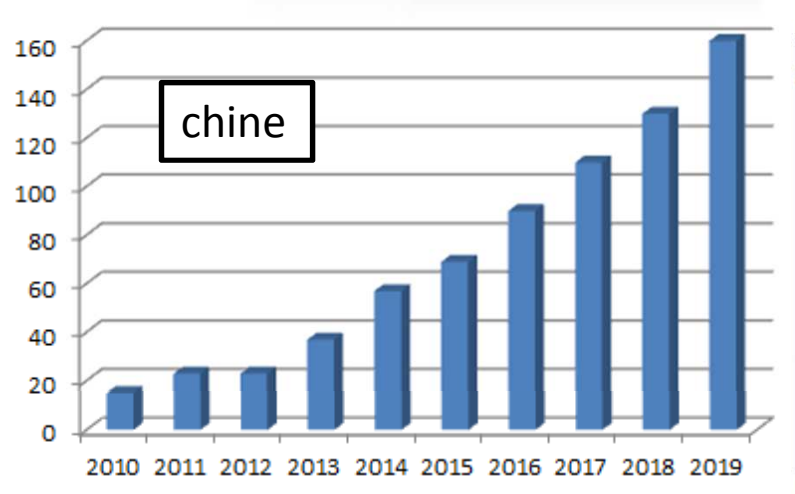


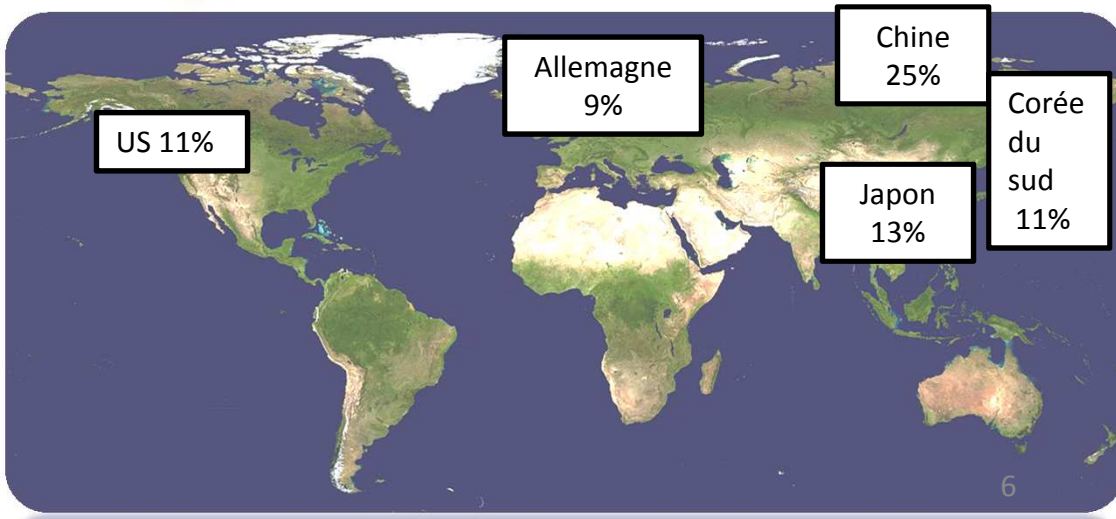
Quelques chiffres





Approvisionnement annuel des robots industriels







La robotique en générale

Domaine de l'exploration

- Accès difficile
- Nettoyage
- Espace
- Démantèlement nucléaire
- Déminage
- Chantier sous marin

Domaine du médical

- Assistance aux opérations chirurgicales
- Robotique médicale

Domaine de service

Robots humanoïdes







Domaine industriel

- Robots industriels
- cobots







atlas



Les enjeux de la robotisation

De nombreuses raisons de robotiser



Les ressources humaines



Le process

Améliorer les conditions de travail troubles musculo-squelettiques (TMS)

Gestion des personnels (tâches à forte valeur ajoutée)

Réduction des coûts de production (+ taux de charge machine)

Améliorer la qualité des process (flexibilité)

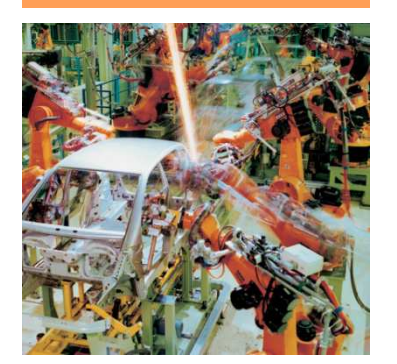
Réduire les taux de rebus (répétabilité)

Accroître les cadences de production



Domaines d'applications de la robotique industrielle

Soudure Points



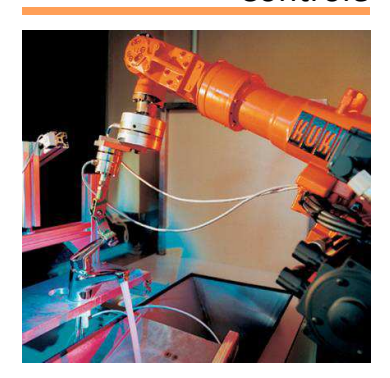
Polissage



Manutention



Contrôle

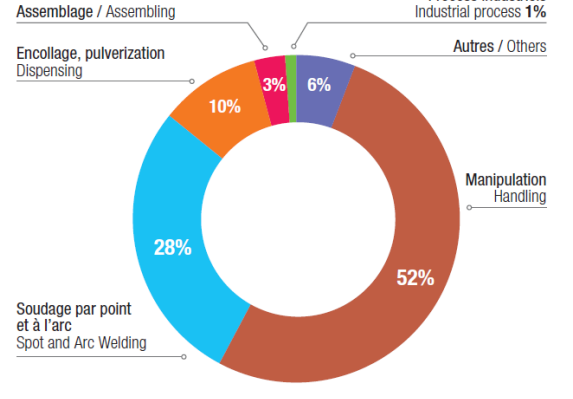




Palettisation



Process industriels Industrial process 1%



Montage



Façonnage

Assemblage



Deux applications majeurs

- 52 % manipulateur
- 28 % soudage par point



Quelques exemples

Assemblage cobotique





Domaine spatial



Domaine aéronautique

Répétabilité Gestion du couple de serrage



Gestion épaisseur peinture Environnement toxique





foil



Atout

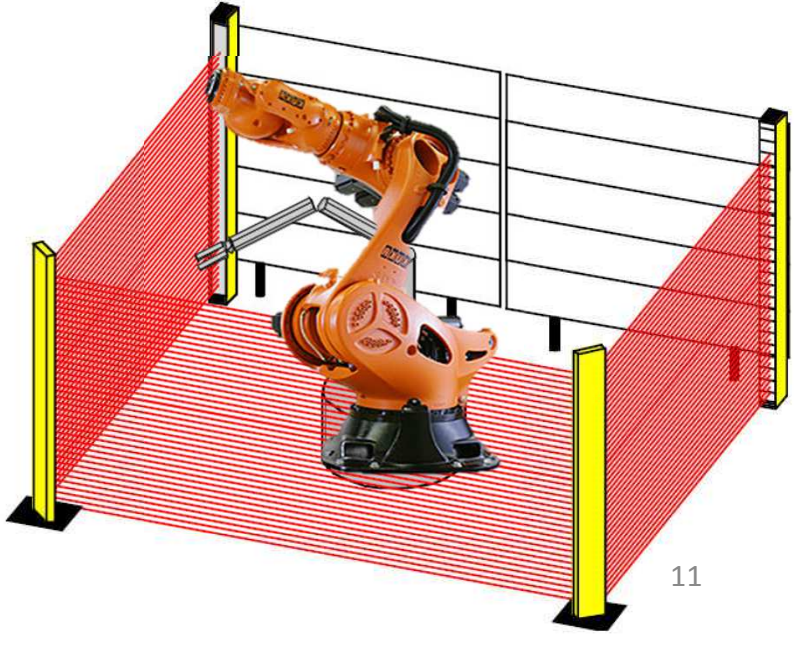
- Charge embarquée variant de 500g à 2800kg
- Large rayon d'action (5m)
- Répétabilité
- Cadence de production (vitesse 2m/s)

Limitations

- Sécurité matérielle
- Intégration complexe
- Pas d'interaction homme/robot
- Faible flexibilité des cellules









Différentes architectures



DELTA



ANTHROPOMORPHES 6 AXES



http://www.cablebot.eu/en/

ROBOT A CABLES

Famille_robot



CARTESIEN

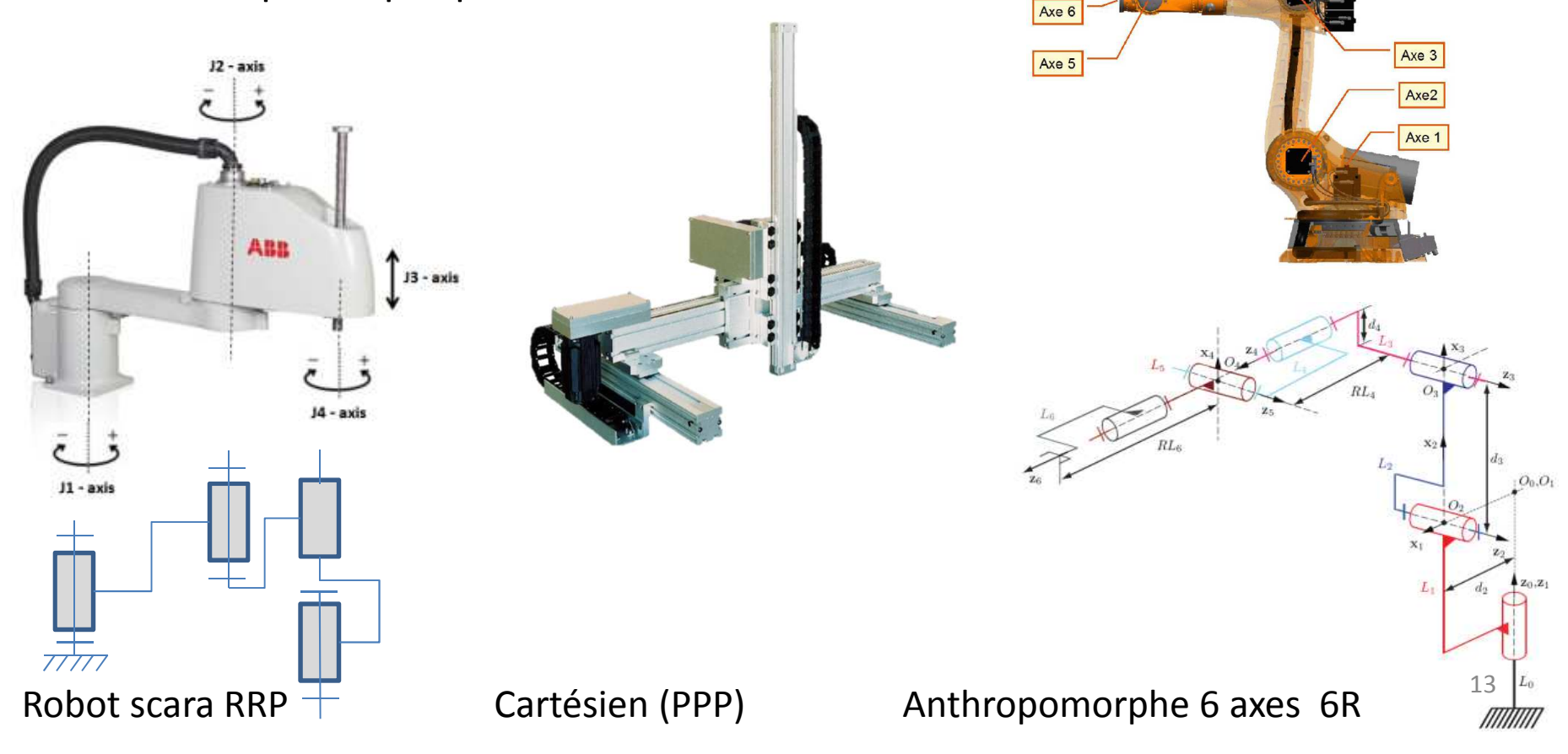


Les différentes architectures

Axe 4

Exemple des robots

- Scara PRR
- Cartésien (PPP)
- Anthropomorphique 6R

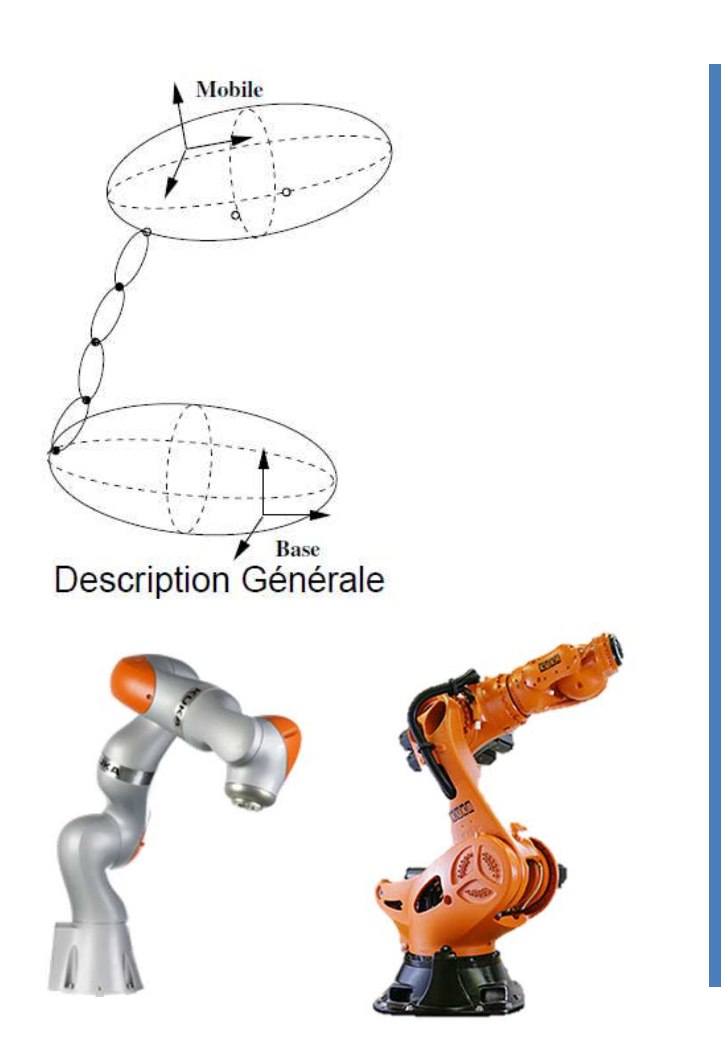




Les différentes architectures

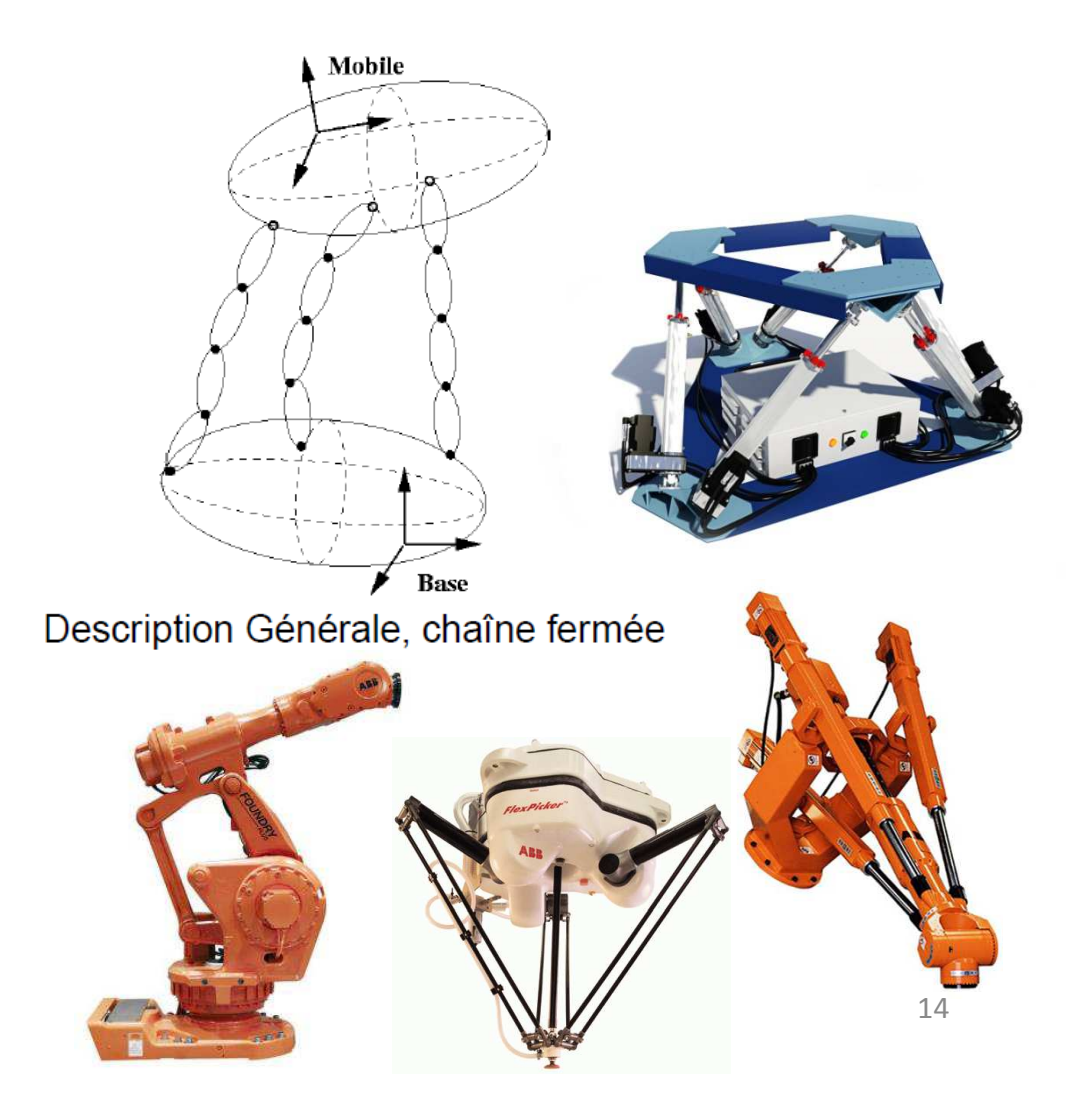
Les robots sériels

Architecture de type chaine ouverte



Les robots parallèles

Architecture de type chaine fermée





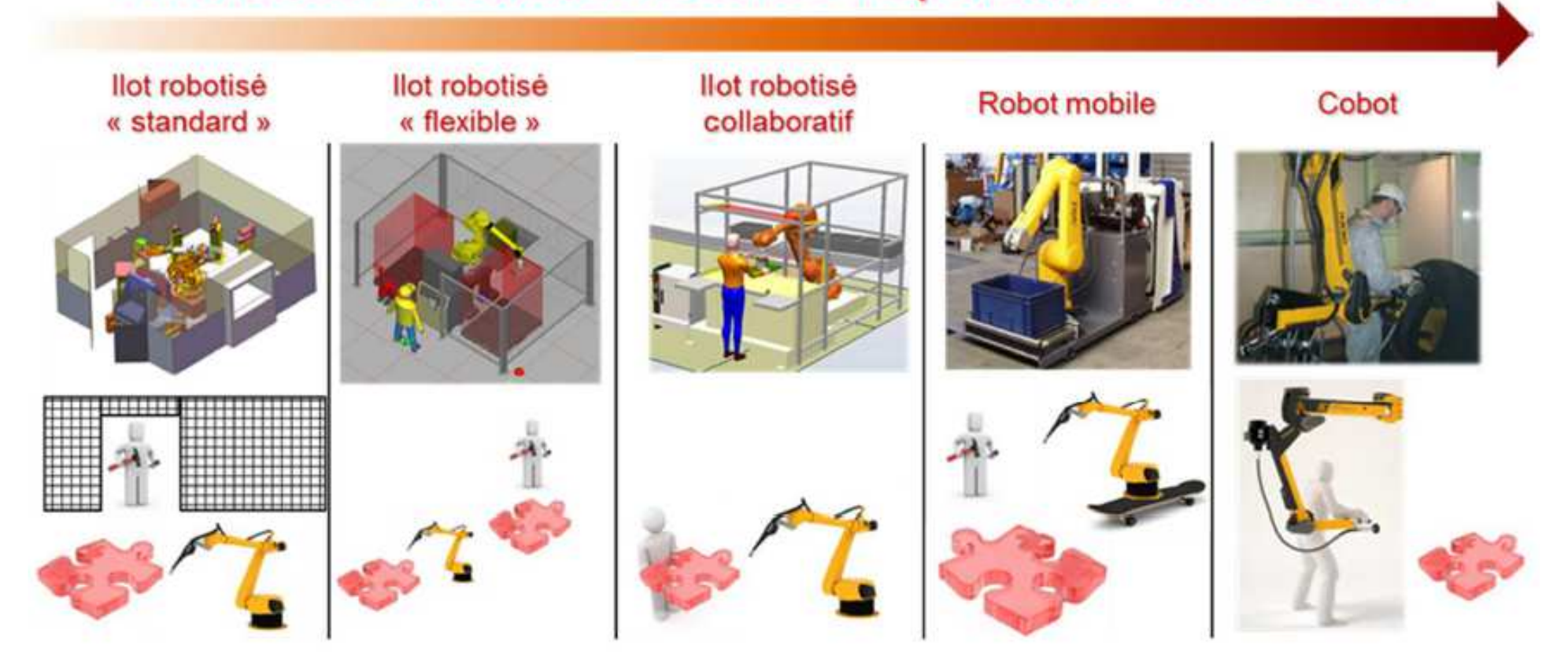
Vocabulaire

Partie opérative **EFFECTEUR** Porteur Partie commande Épaule Poignet Bras Équilibreur Tourelle Embase

Les différents secteurs de la robotique

Une tendance forte

Interaction croissante entre l'opérateur et le robot



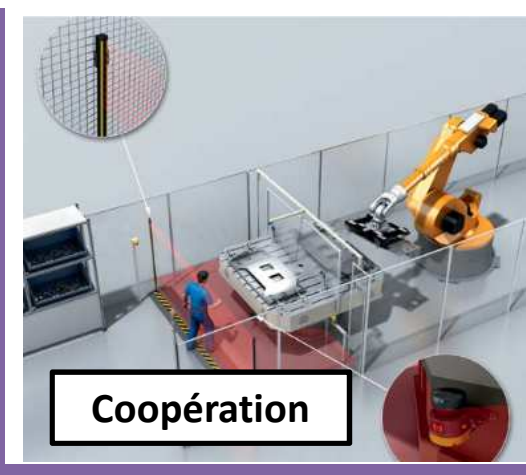


Les différents secteurs de la robotique

Espace de travail différent

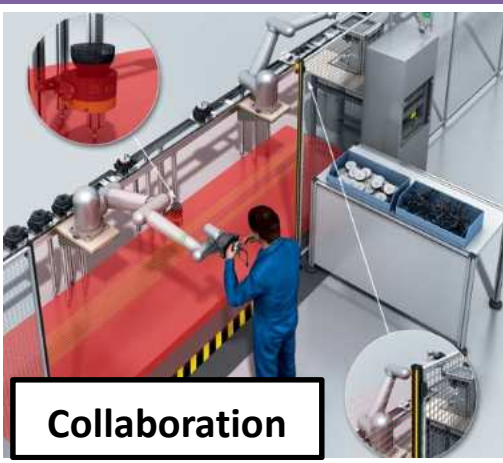
Espace de travail partagé

Période différente PAS d'INTERACTION



Période commune







Les cobots (Collaborative Robot)

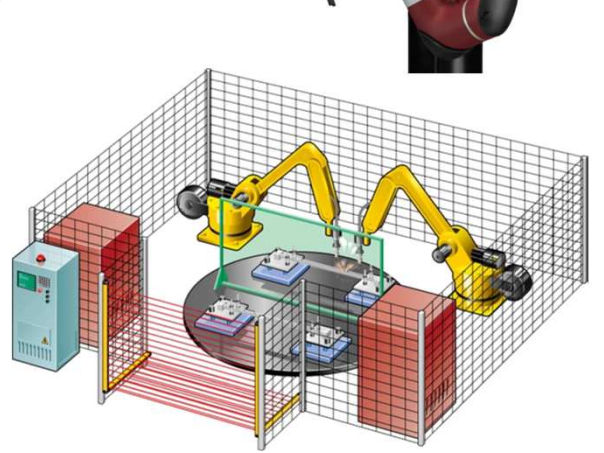
✓ Atouts

- Suppression des contraintes de sécurité Matérielle
- Travail collaboratif Homme/cobot
- Intégration et programmation simple
- Dextérité

✓ Limitations

- Très faible capacité de charge
- Faible rayon d'action













Comparaison robot / cobot

Caractéristiques	ROBOT	СОВОТ
Charge utile	+++	+
Zone de travail	+++	+
Précision de positionnement	+++	++
Vitesse	+++	+
Interaction Homme / robot (sécurité)	+	+++
Simplicité de programmation	++	+++
"Plug & produce" en production	+	+++
Diversité des tâches (flexibilité)	++	+++







Critères de choix d'un robot industriel

Les critères à prendre en compte pour le choix d'un robot:

- 1. Capacité de charges (50g→3000kg)
- 2. Rayon d'action
- 3. Type de montage
- 4. Indice de protection
- 5. Nombre d'axes externes









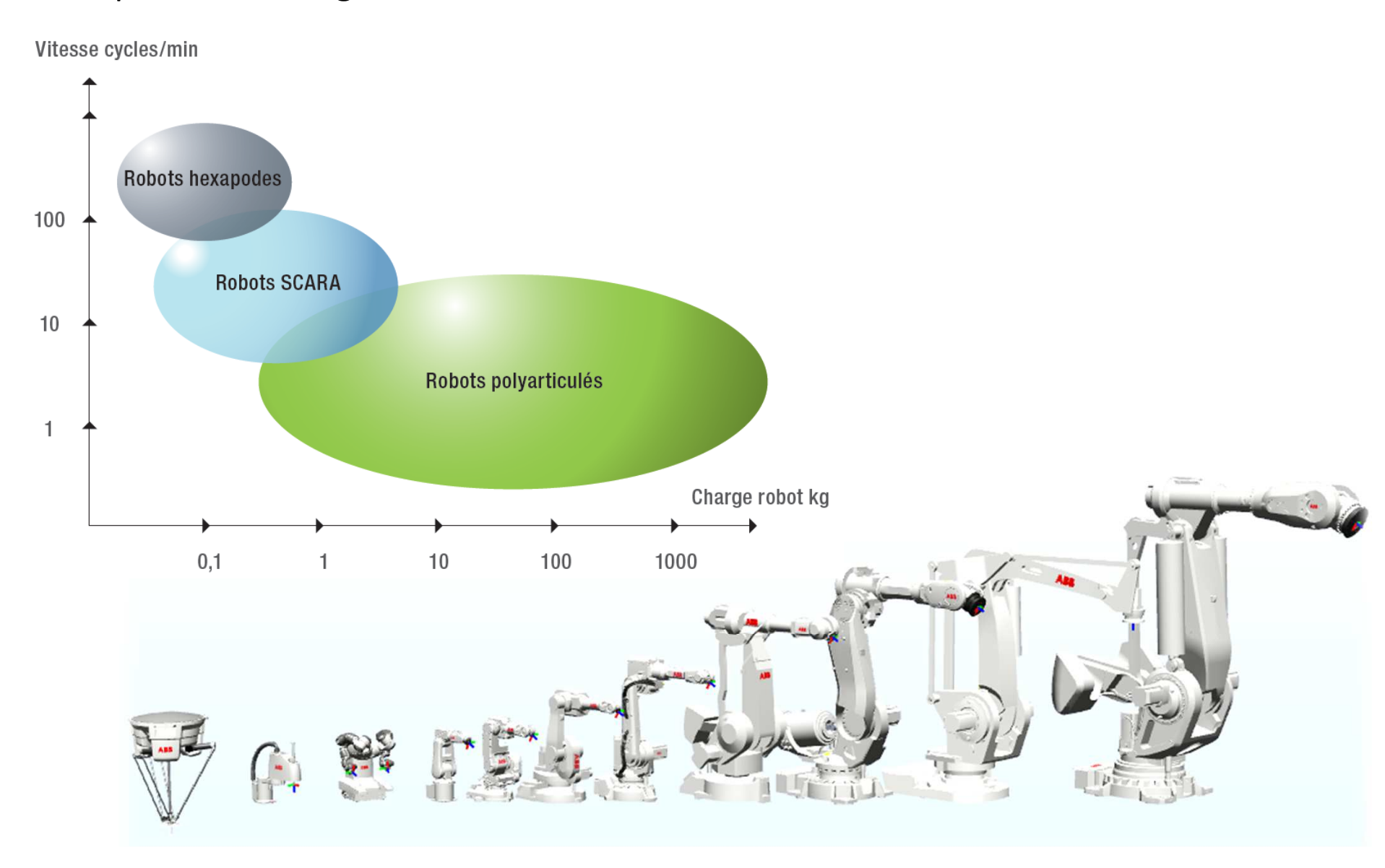






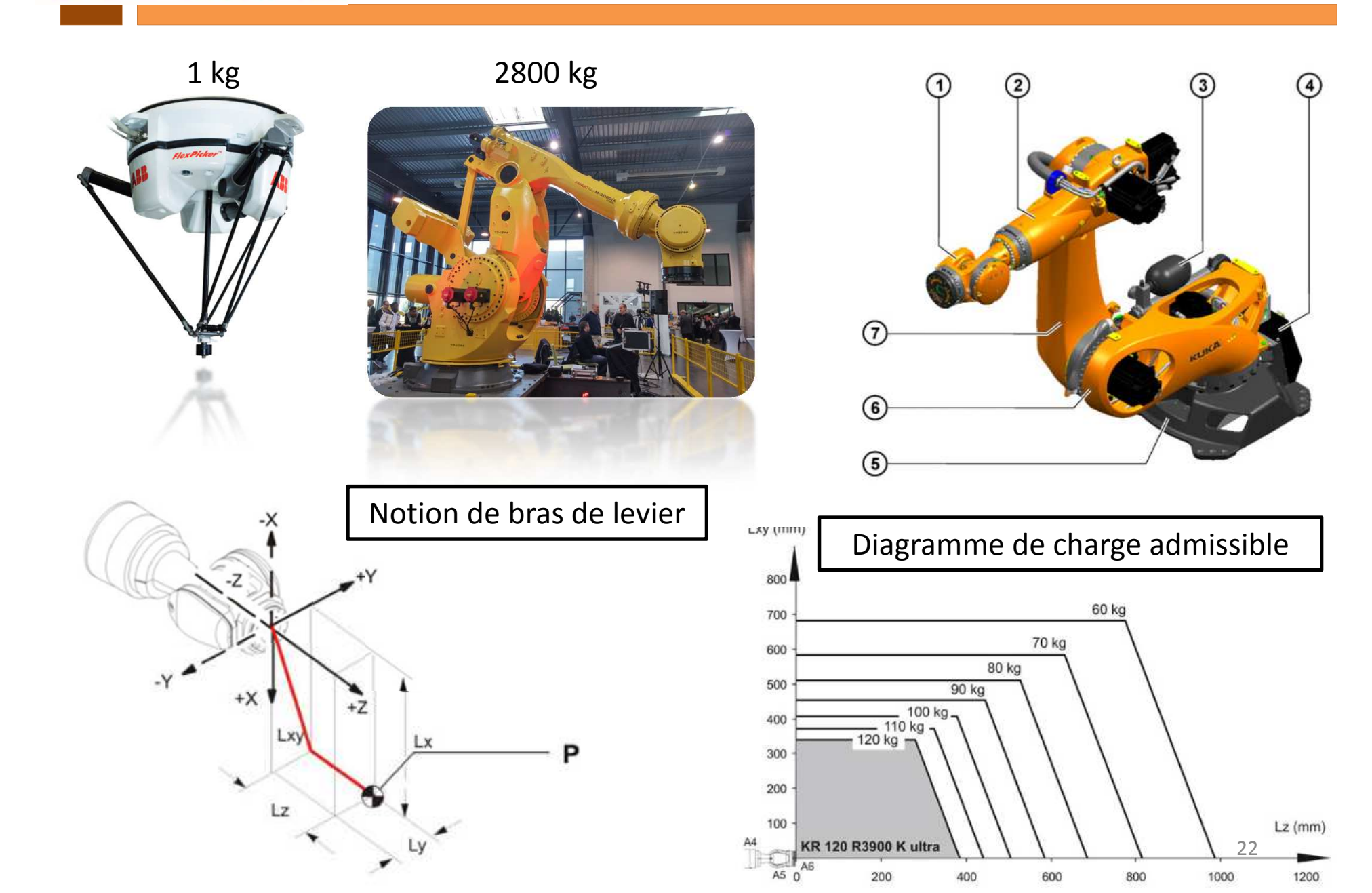
Critère de choix : Capacité de charge

Capacité de charge selon l'architecture





Critère de choix :Capacité de charge





Critère de choix : le rayon d'action

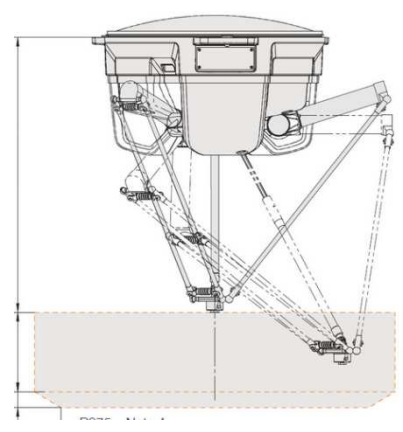
Le rayon d'action et la géométrie de la zone de travail accessible sont fonction de :

- La cinématique
- Le modèle de robot

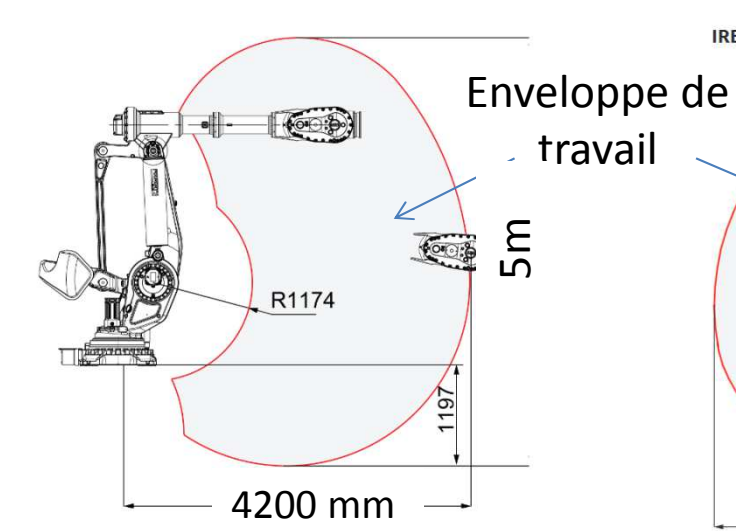


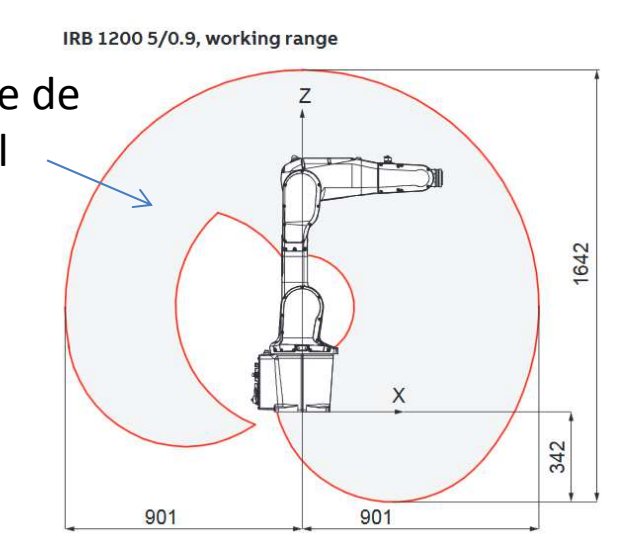






800 mm







Critère de choix : rayon d'action

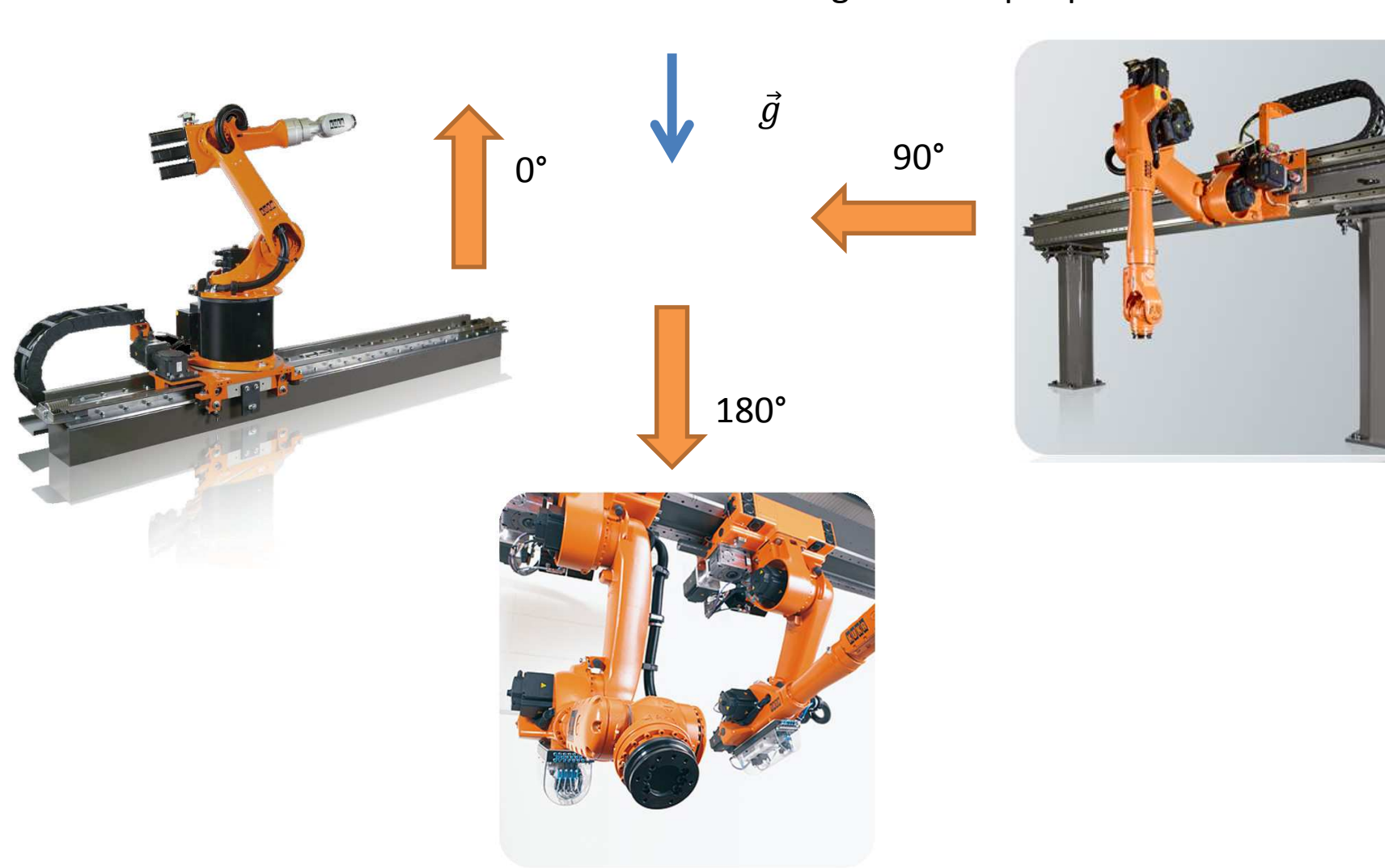
Désignation	Cinématique	Enveloppe de travail	Photo
ANTHROPOMORPHE 6_AXES	Joint 4 Joint 5 Joint 6 Joint 3 Joint 2 Joint 1		
ANTHROPOMORPHE 4_AXES	0.00		
SCARA	And		Ass
DELTA	And the second s		24



Critère de choix : Type de montage

Sens de montage du robot

Selon les modèles toutes les orientations de montage ne sont pas possibles





Critère de choix : indice de protection

Indice de protection : il est constitué de deux chiffres et permet de définir la protection d'un système vis-à-vis de la pénétration de :

- La poussière
- De l'eau

poussière

eau

IP 5 4

Robot fonderie



Premier chiffre: protection des équipeme électriques contre la pénétration de co solides (y compris la poussière)		
 non protégé diamètre ≥ 50 mm diamètre ≥ 12,5 mm diamètre ≥ 2,5 mm diamètre ≥ 1 mm protégé contre la poussière étanche à la poussière 	 non protégé gouttes d'eau verticales gouttes d'eau (15° d'inclinaison) pluie projection d'eau projection sous pression projection à la lance projection puissante à la lance projection puissante sous pression immersion temporaire immersion prolongée nettoyage à haute pression / jet de vapeur 	



de l'immersion sous pression.

Robot de lavage



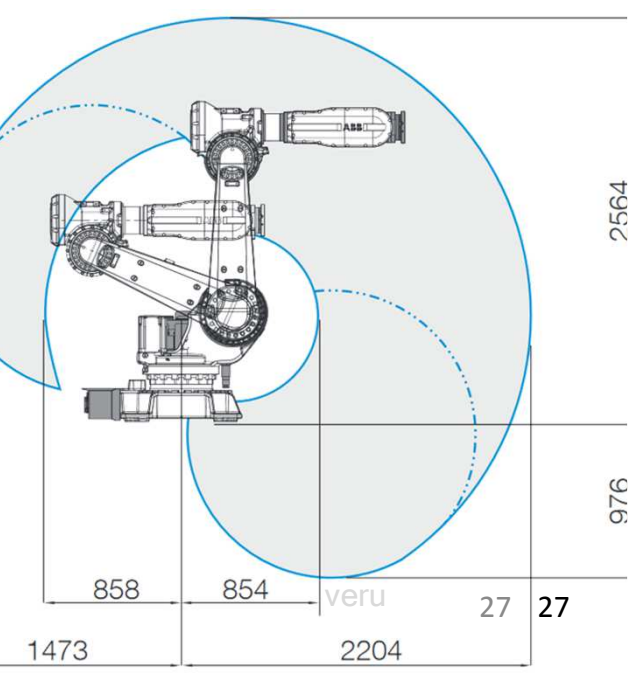
Exemple de fiche technique

Specification		
Reach	2.2 m	
Handling capacity	150 kg	
Extra loads can be	50 kg on to the upper and 100 kg	
mounted on to the robot:	on to the robot base.	
Number of axes:	6	
Protection:	IP 54	
	IP 67 with Foundry Plus 2 option	
Mounting:	Floor, tilted or inverted	
IRC5 Controller variants	Single cabinet	



Position repeatability:	repeatability: 0.03 mm	
Axis movements	working range	Axis max speed
Axis 1 Rotation	+170° to -170°	100°/s
Axis 2 Arm	+140° to -65°	90°/s
Axis 3 Arm	+70° to -180°	90°/s
Axis 4 Wrist	+300° to -300°	150°/s
Axis 5 Bend	+130° to -130°	120°/s
Axis 6 Turn	+300° to -300°	190°/s







Exemple d'application métier

Des équipements spécifiques selon l'application

Des solutions en catalogue



Robot de peinture





Robot de soudage





Robot de palettisation



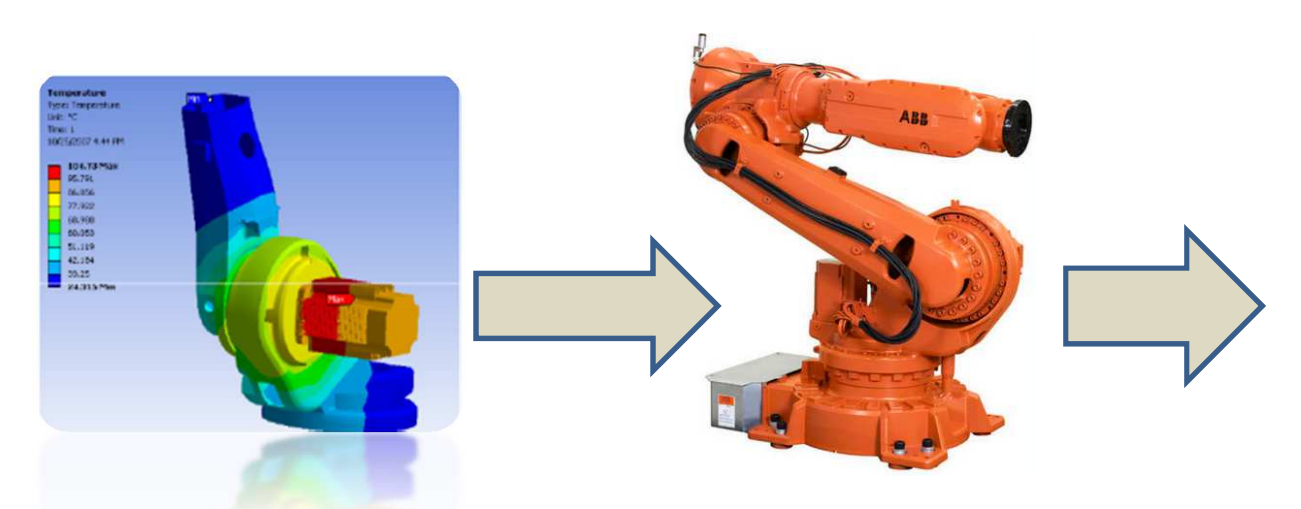


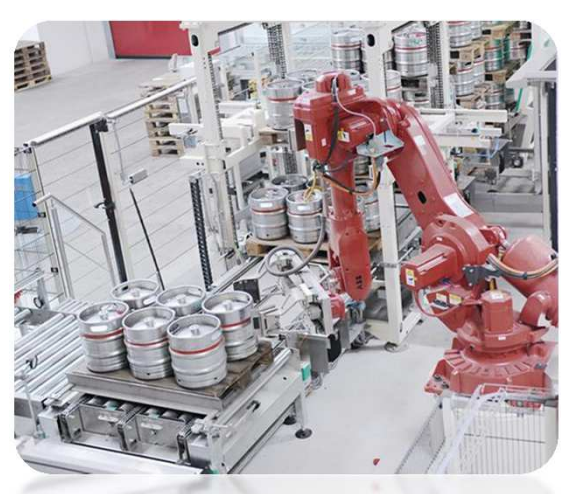
Soudage_UR



Les métiers associés à la robotique

De nombreux métiers dans des secteurs très variés





Chez les fabricants de robots

- •R&D, production, SAV ...
- •Commerciaux, support technique
- •Marketing, Management produits

Chez l'intégrateur

- Chargé d'affaire, Chef de projet
- Ingénieur & techniciens en bureau étude
- •Mécanique et automatisme
- Programmeur, responsable de chantier

Chez l'utilisateur final

- Chef de projet
- Conducteur de ligne
- Technicien de maintenance



La sécurité

Les robots sont des machines potentiellement dangereuses!!

Risque d'écrasement avec les grands robots mais avec les petits aussi!



TOUJOURS RESPECTER LES CONSIGNES DE SECURITE



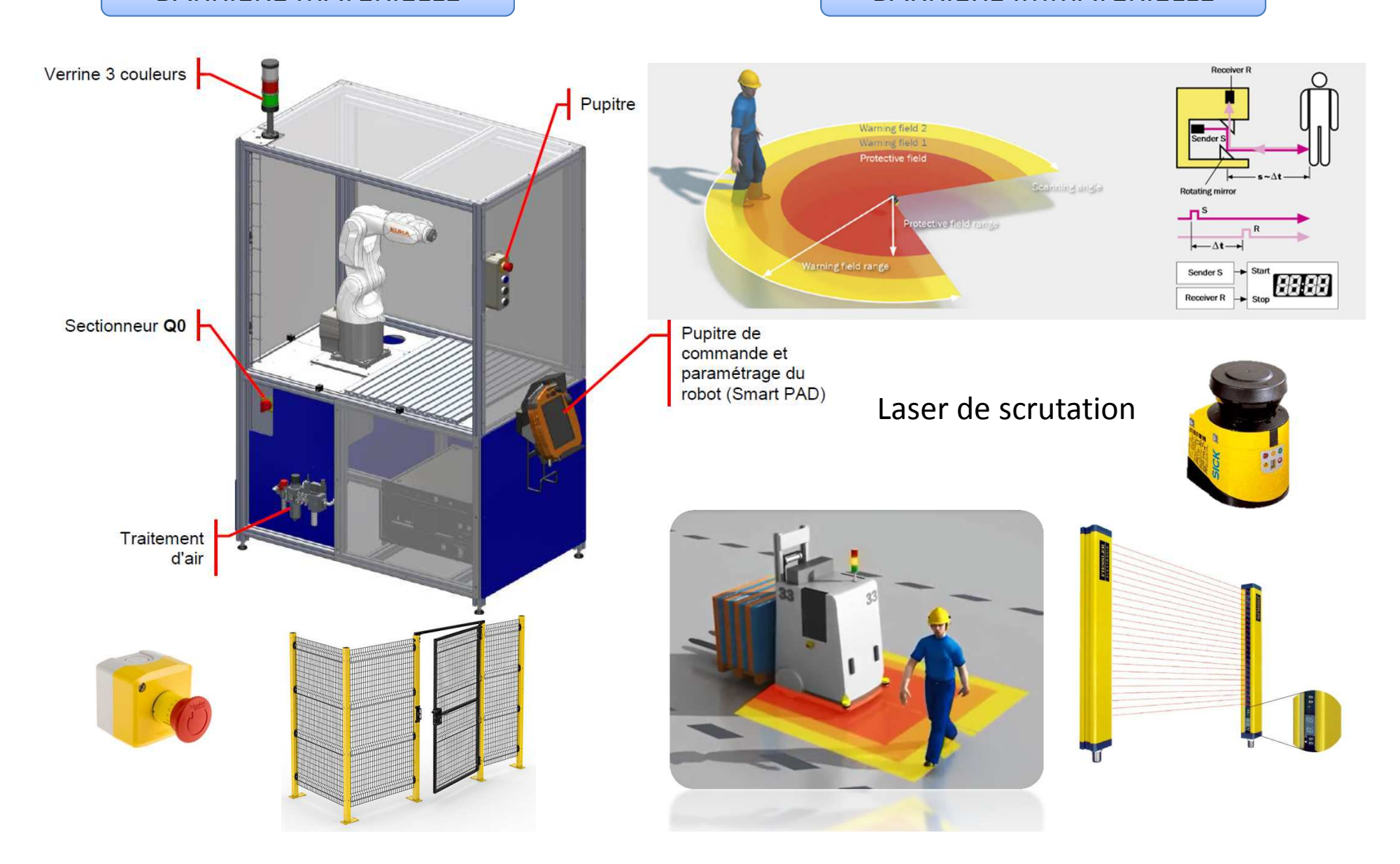




La sécurité

BARRIERE MATERIELLE

BARRIERE IMMATERIELLE

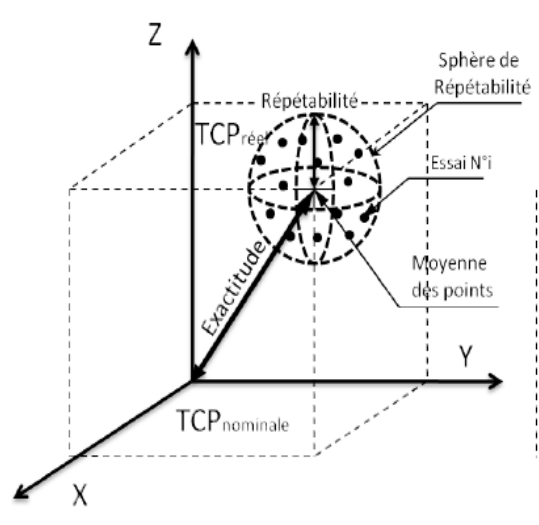


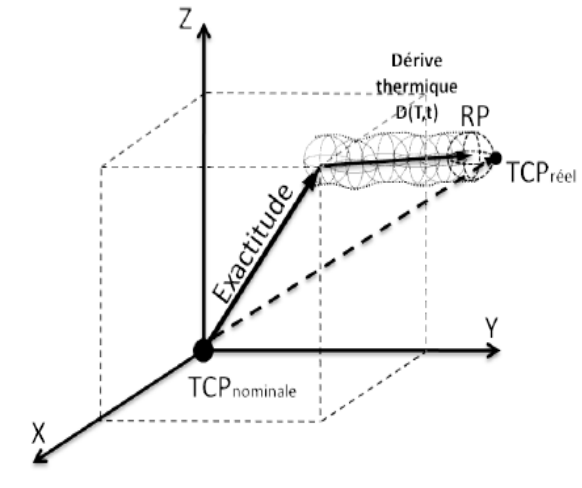


Performances des robots

Les différentes sources d'erreur

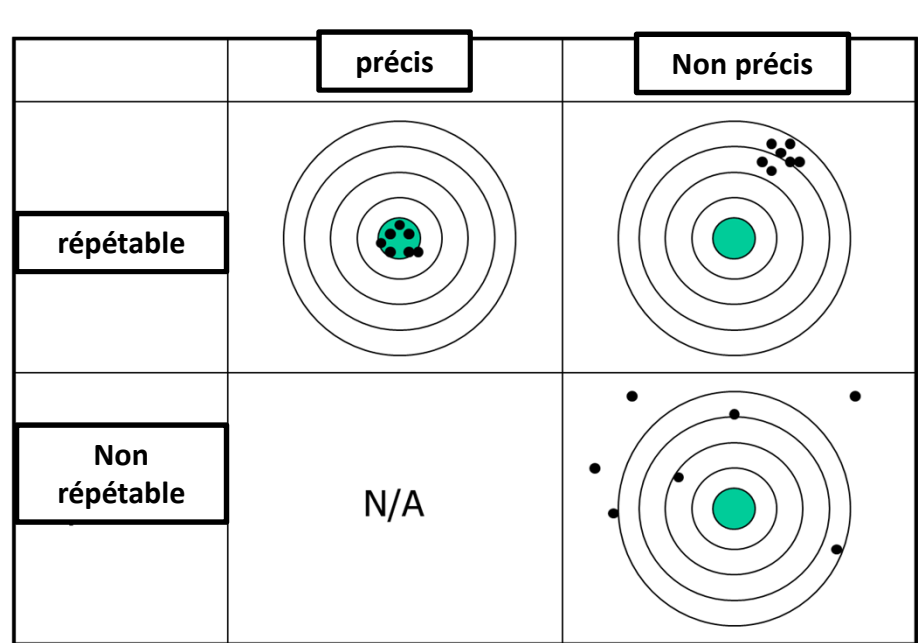
- Commande
- Calibration
- Jeu dans les liaisons
- Déformation des éléments





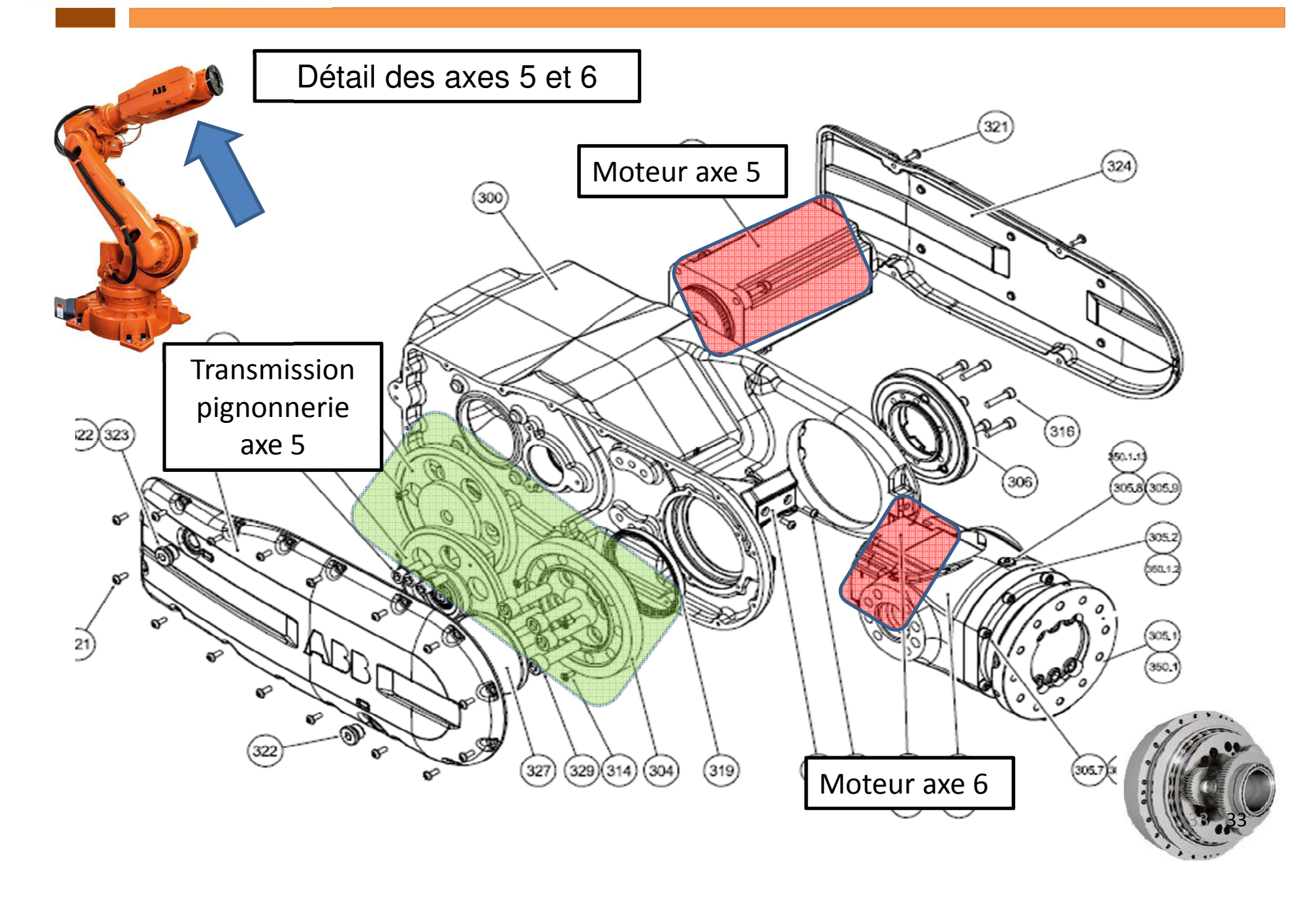
Précision : ±0.8mm

Répétabilité ±0.03mm



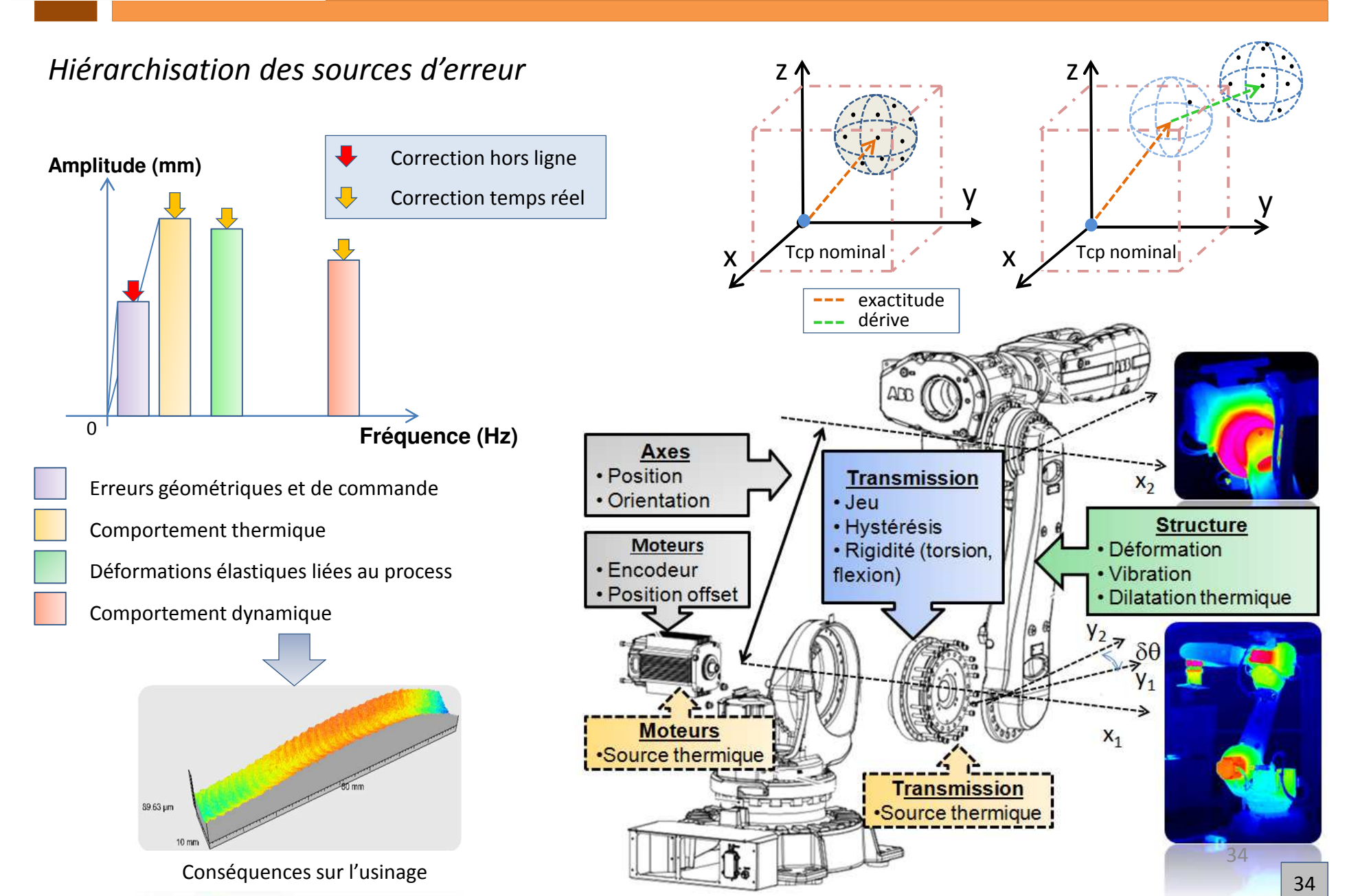


Structure type d'un robot 6 axes





Performances des robots





Programmation des robots industriels

Deux modes de programmation



Programmation par apprentissage

Les points sont parcourus en manuel et enregistrés au fur et à mesure

Avantage

Rapidité de mise en œuvre

Inconvénient

Complexité limitée des trajets et des formes



Programmation Hors Ligne

Les trajets sont générés à l'aide d'un logiciel externe de FAO

Avantage

Possibilité d'envoyer des fichiers de plusieurs milliers de lignes

Inconvénient

Compatibilité de la chaîne CFAO nécessaire



Abb peinture



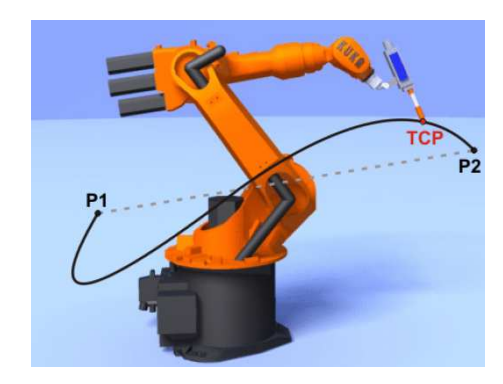
Programmation des robots industriels

Trois types de mouvement possibles

PTP (Point To Point)

L'outil se déplace suivant le chemin le plus rapide. Le trajet du robot entre P1 et P2 n'est pas connu à l'avance

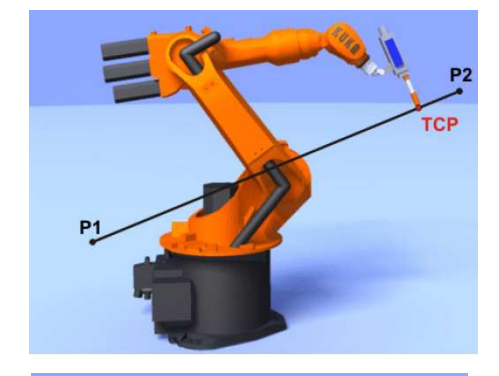
- Risque de collision
- -Non maitrise du trajet
- +Pas de risque de singularité sur le trajet



LIN (Linéaire)

Le trajet suivi par l'outil est une ligne droite entre P1 et P2

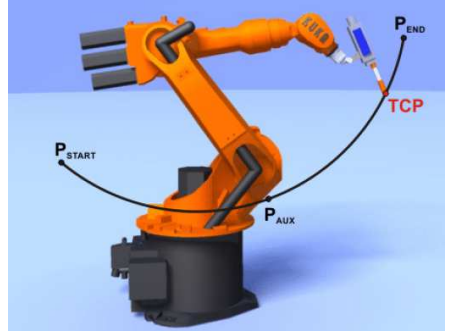
- +Maîtrise des points de passages
- -risque de singularité sur le trajet



CIRC (Circulaire)

L'outil se déplace suivant un arc de cercle qui s'appuie sur 3 points à définir

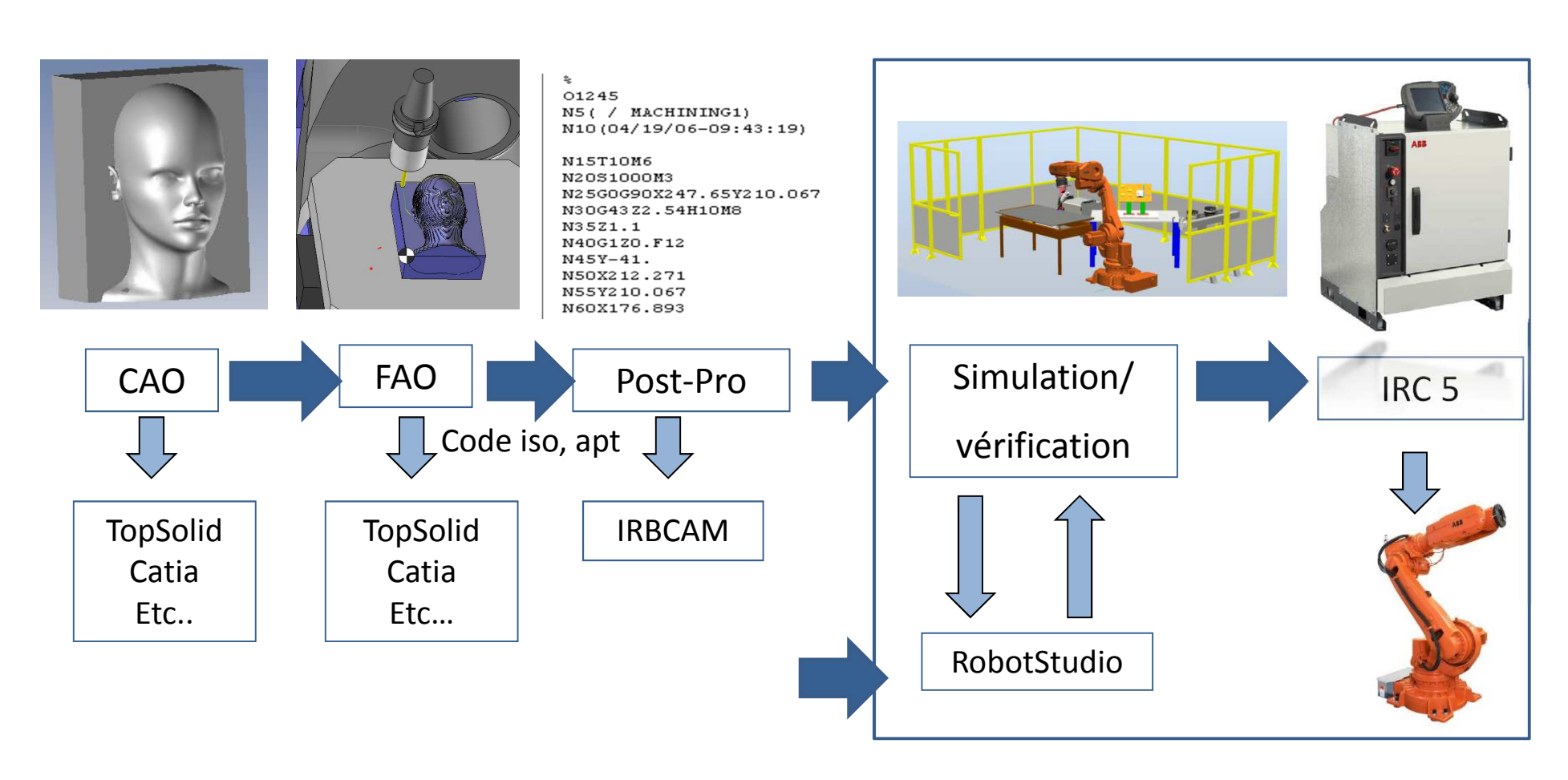
- +Maîtrise des points de passages
- + Peu risque de singularité sur le trajet





Programmation des robots industriels

Chaine numérique pour la programmation des robots Génération de trajectoires complexes (position + orientation)





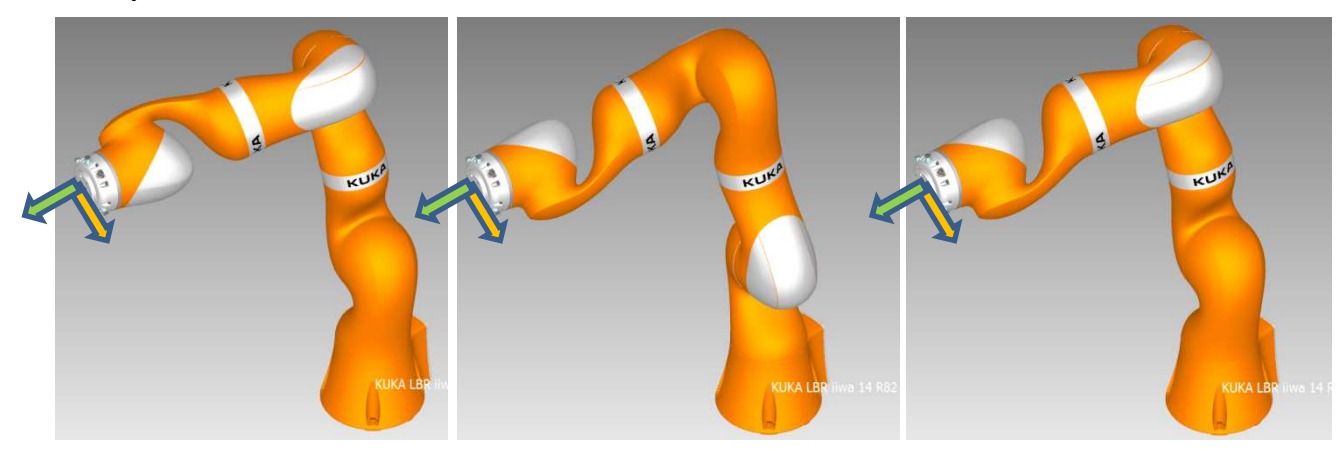
Commande des robots

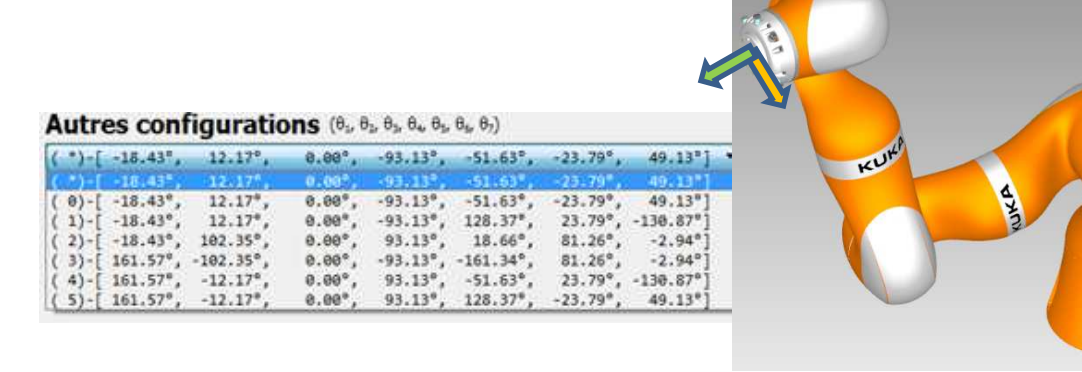
Notion de configuration

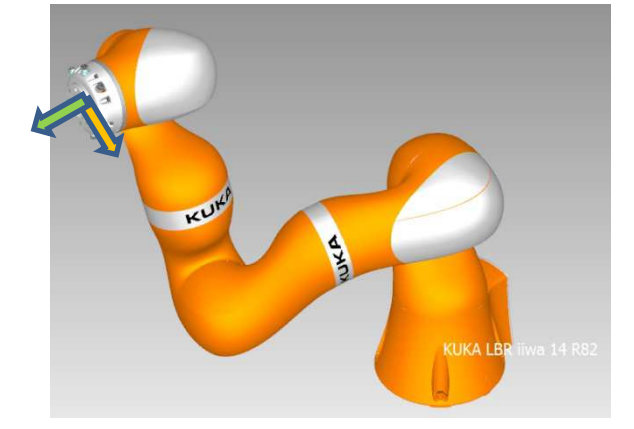
Spécificité des robots par rapport aux MOCN:

Il n'y pas forcément unicité de configuration des axes pour positionner le repère outil (point+ 3 orientations) sur une position donnée avec une orientation donnée :

5 configurations pour une même position et orientation de l'outil









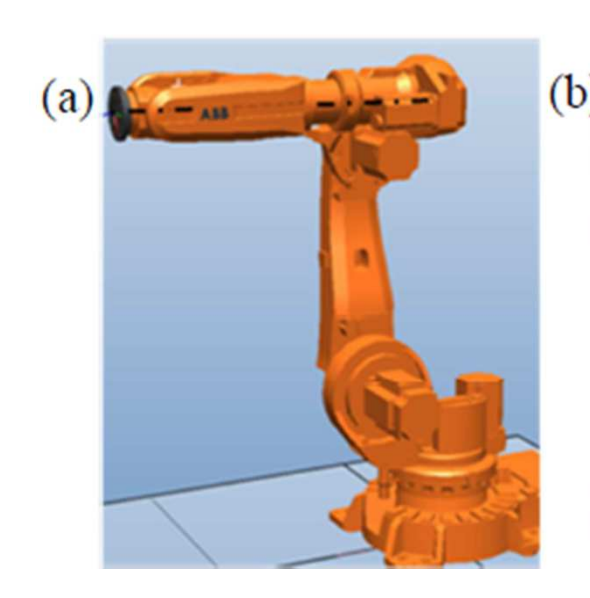
Commande des robots

Notion de singularité

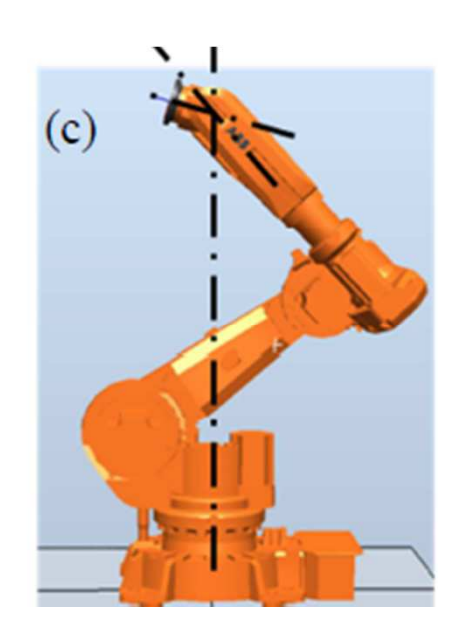
Pour les manipulateurs anthropomorphes 6 axes comportent 3 types de singularités:

- la singularité de poignet (a)
- la singularité bras tendu lorsque l'on veut atteindre la frontière de l'espace de travail en position (b)
- la singularité d'épaule (c),

→ Perturbation de la vitesse de déplacement (modification des paramètres process)











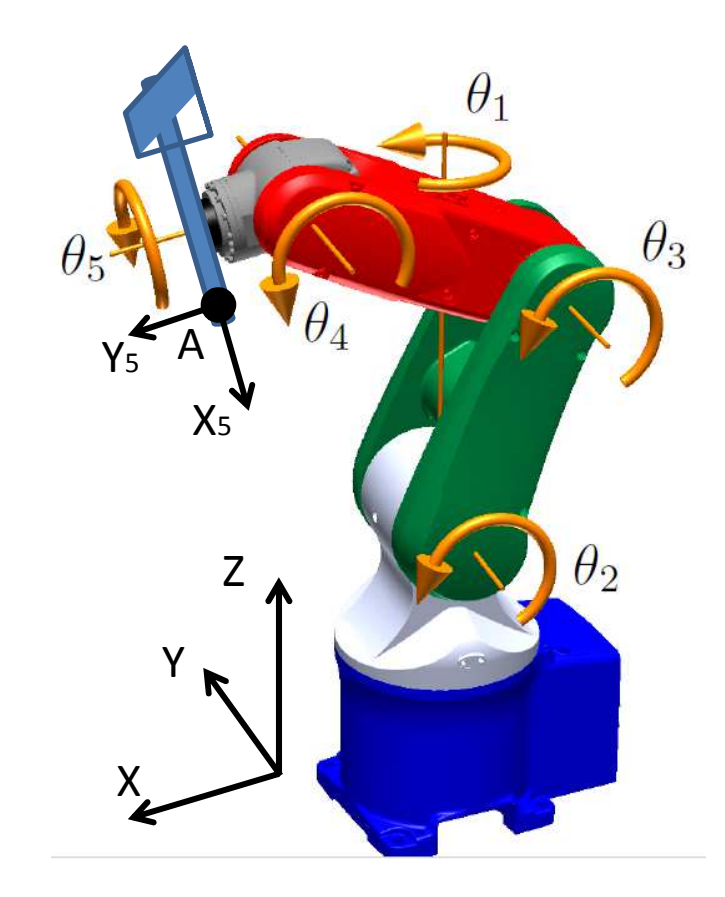
2 Problématiques distinctes : l'une simple, l'autre un peu moins!!

P1 cinématique directe : Connaissant la position angulaire des 5 liaisons, quelles sont la position et l'orientation de l'effecteur dans le repère cartésien?

P2 cinématique inverse : Connaissant la position et l'orientation de l'effecteur dans l'espace cartésien, quelle doit être la consigne angulaire pour les différents moteurs?

Effecteur

- Une géométrie
- Une origine
- Un repère associé





Les différents modèles

Le modèle géométrique direct (MGD): Il permet de connaitre la position et l'orientation dans l'espace cartésien connaissant les valeurs angulaires des différentes liaisons

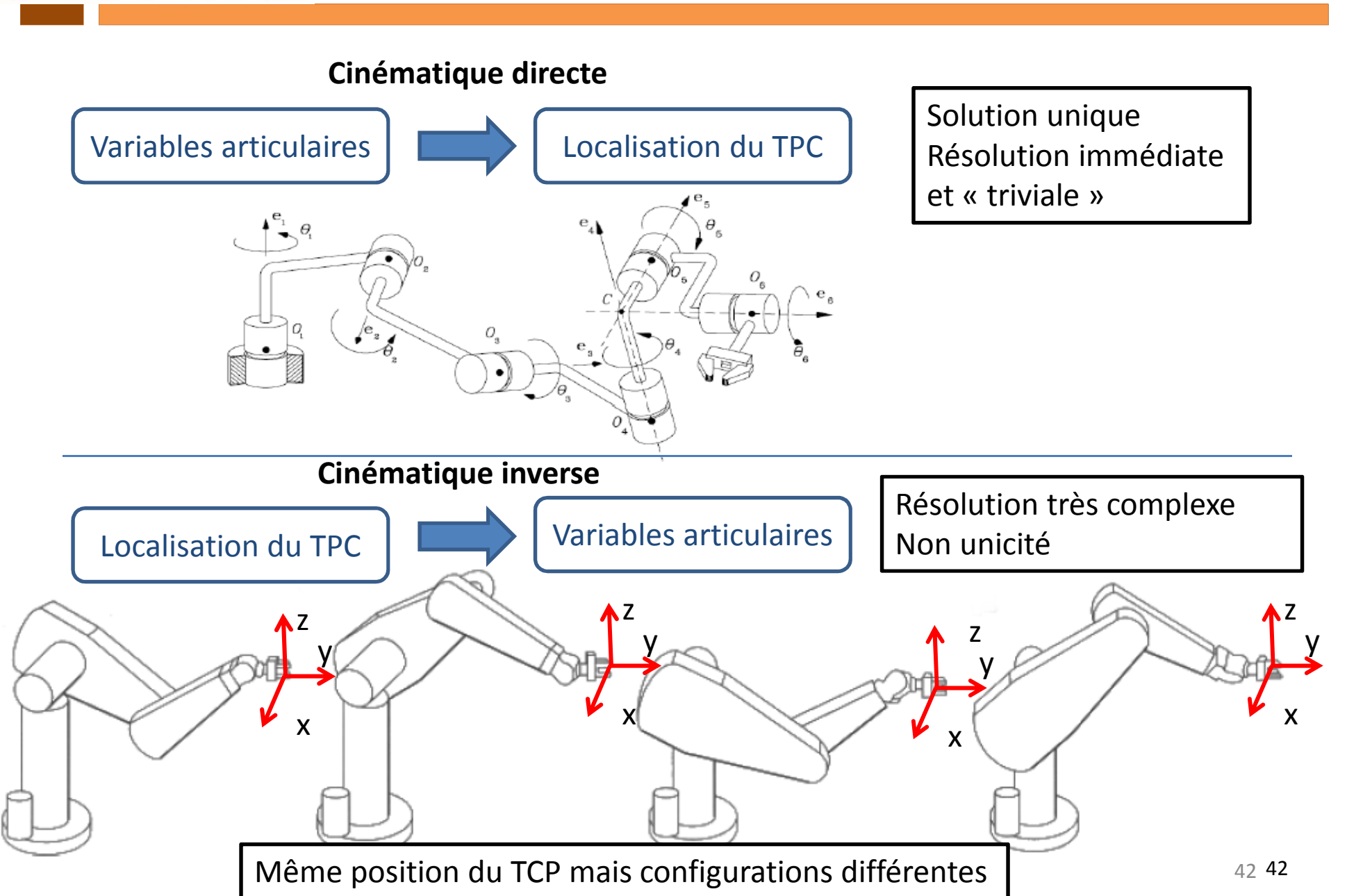
$$\{\theta_1, \theta_2, \theta_3, \theta_4, \theta_5\} \implies MGD \implies \{X_5, Y_5, Z_5, u_5, v_5, w_5\}$$

Avec $\{u_5, v_5, w_5\}$ les orientations angulaires par rapport à x,y,z

Le modèle géométrique inverse (MGI): il permet de connaître les valeurs angulaires des différentes liaisons pour atteindre une position et une orientation de l'effecteur

$$\{X_5, Y_5, Z_5, u_5, v_5, w_5\}$$
 MGI $\{\theta_1, \theta_2, \theta_3, \theta_4, \theta_5\}$







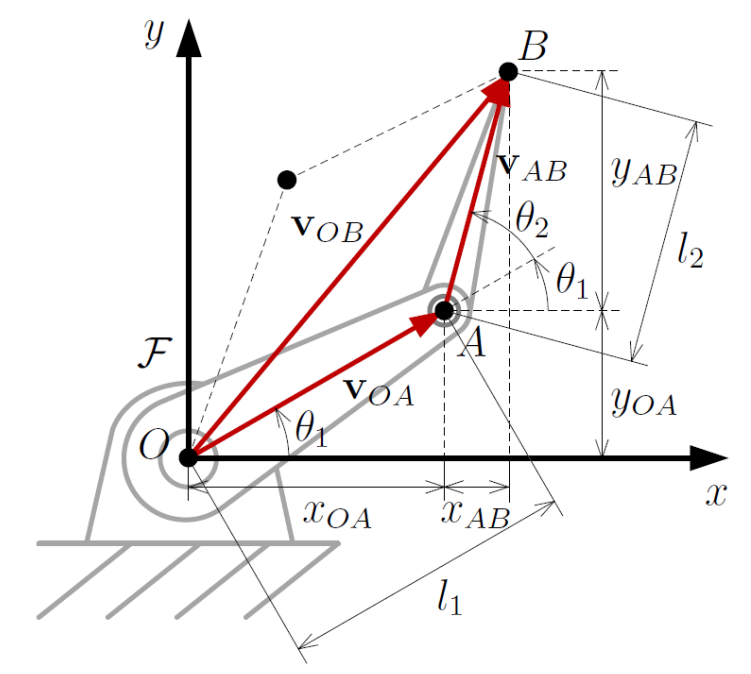
Exemple sur un modèle de système 2 D

Modèle géométrique direct

$$\mathbf{v}_{OA} = \begin{bmatrix} x_{OA} \\ y_{OA} \end{bmatrix} = \begin{bmatrix} l_1 \cos \theta_1 \\ l_1 \sin \theta_1 \end{bmatrix},$$
 R1

$$\mathbf{v}_{AB} = \begin{bmatrix} x_{AB} \\ y_{AB} \end{bmatrix} = \begin{bmatrix} l_2 \cos(\theta_1 + \theta_2) \\ l_2 \sin(\theta_1 + \theta_2) \end{bmatrix}$$
 R2

$$\mathbf{v}_{OB} = \begin{bmatrix} x_B \\ y_B \end{bmatrix},$$
 R3



$$\mathbf{v}_{OB} = \mathbf{v}_{OA} + \mathbf{v}_{AB} = \begin{bmatrix} x_{OA} \\ y_{OA} \end{bmatrix} + \begin{bmatrix} x_{AB} \\ y_{AB} \end{bmatrix} = \begin{bmatrix} x_{OA} + x_{AB} \\ y_{OA} + y_{AB} \end{bmatrix} \quad \mathbf{R4}$$

$$= \begin{bmatrix} l_1 \cos \theta_1 + l_2 \cos(\theta_1 + \theta_2) \\ l_1 \sin \theta_1 + l_2 \sin(\theta_1 + \theta_2) \end{bmatrix} = \begin{bmatrix} l_1 \cos \theta_1 + l_2 (\cos \theta_1 \cos \theta_2 - \sin \theta_1 \sin \theta_2) \\ l_1 \sin \theta_1 + l_2 (\sin \theta_1 \cos \theta_2 + \cos \theta_1 \sin \theta_2) \end{bmatrix}$$

$$\begin{bmatrix} x_b \\ y_b \end{bmatrix} = \begin{bmatrix} l_1 \cos \theta_1 + l_2 (\cos \theta_1 \cos \theta_2 - \sin \theta_1 \sin \theta_2) \\ l_1 \sin \theta_1 + l_2 (\sin \theta_1 \cos \theta_2 + \cos \theta_1 \sin \theta_2) \end{bmatrix}$$



Exemple sur un modèle de système 2 D

Modèle géométrique inverse

On calcule :
$$\mathbf{v}_{OB}^T \mathbf{v}_{OB} = x_{B+}^2 y_B^2$$

$$x_B^2 + y_B^2 = (l_1 \cos \theta_1 + l_2(\cos \theta_1 \cos \theta_2 - \sin \theta_1 \sin \theta_2))^2 + (l_1 \sin \theta_1 + l_2(\sin \theta_1 \cos \theta_2 + \cos \theta_1 \sin \theta_2))^2$$

avec
$$\sin^2 \theta + \cos^2 \theta = 1$$

On obtient
$$x_B^2 + y_B^2 = l_1^2 + l_2^2 + 2l_1l_2\cos\theta_2$$

Comme
$$2l_1l_2 > 0$$

On obtient
$$\theta_2 = \pm \arccos\left(\frac{x_B^2 + y_B^2 - l_1^2 - l_2^2}{2l_1l_2}\right)$$



$$\theta_2 = \pm \arccos\left(\frac{x_B^2 + y_B^2 - l_1^2 - l_2^2}{2l_1 l_2}\right)$$

Les deux solutions sont réelles si l'argument de la fonction arcos est dans l'intervalle [-1,1]. Cette condition est équivalente (2L₁.L₂>0) à

$$(l_1 - l_2)^2 \le x_B^2 + y_B^2 \le (l_1 + l_2)^2$$

A partir de la relation R5, on obtient les relations suivantes :

$$\begin{bmatrix} \cos \theta_1 (l_1 + l_2 \cos \theta_2) - l_2 \sin \theta_1 \sin \theta_2 \\ \sin \theta_1 (l_1 + l_2 \cos \theta_2) + l_2 \cos \theta_1 \sin \theta_2 \end{bmatrix} = \begin{bmatrix} x_B \\ y_B \end{bmatrix}$$

Ce système de deux équations linéaires en $\cos\theta_1$ et $\sin\theta_1$ admet la solution :

$$\cos \theta_1 = \frac{x_B l_1 + x_B l_2 \cos \theta_2 + y_B l_2 \sin \theta_2}{l_1^2 + l_2^2 + 2 l_1 l_2 \cos \theta_2},$$

$$\sin \theta_1 = \frac{y_B l_1 + y_B l_2 \cos \theta_2 - x_B l_2 \sin \theta_2}{l_1^2 + l_2^2 + 2 l_1 l_2 \cos \theta_2}.$$

$$x_B^2 + y_B^2 = l_1^2 + l_2^2 + 2 l_1 l_2 \cos \theta_2$$



$$\cos\theta_1 = \frac{x_B l_1 + x_B l_2 \cos\theta_2 + y_B l_2 \sin\theta_2}{x_B^2 + y_B^2},$$
 d'où
$$\sin\theta_1 = \frac{y_B l_1 + y_B l_2 \cos\theta_2 - x_B l_2 \sin\theta_2}{x_B^2 + y_B^2}.$$

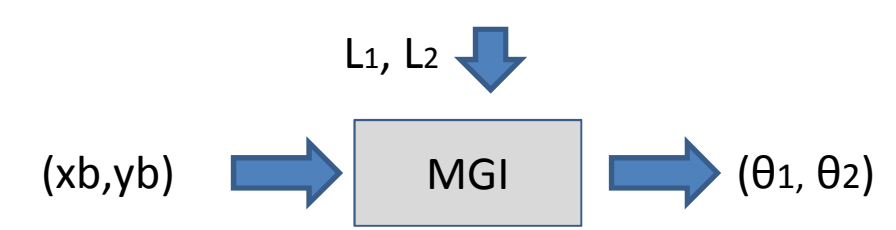
En utilisant la fonction atan2 (y,x) définie par

$$\arctan 2(y, x) = \begin{cases} \arctan\left(\frac{y}{x}\right) \cdot sgn(y) & \text{si } x > 0\\ \frac{\pi}{2} \cdot sgn(y) & \text{si } x = 0\\ \left(\pi - \arctan\left(\frac{y}{x}\right)\right) \cdot sgn(y) & \text{si } x < 0 \end{cases}$$

On obtient:

$$\theta_1 = \operatorname{atan2} (y_B l_1 + y_B l_2 \cos \theta_2 - x_B l_2 \sin \theta_2, x_B l_1 + x_B l_2 \cos \theta_2 + y_B l_2 \sin \theta_2)$$

On a donc identifié le MGI dans le cas plan 2D





Les matrices de rotations en 2D

$$\mathbf{v}_{O_{0}B}^{0} = \mathbf{v}_{O_{0}O_{1}}^{0} + \mathbf{v}_{O_{1}B}^{0} = \mathbf{v}_{O_{0}O_{1}}^{0} + \mathbf{v}_{O_{1}H}^{0} + \mathbf{v}_{HB}^{0}$$

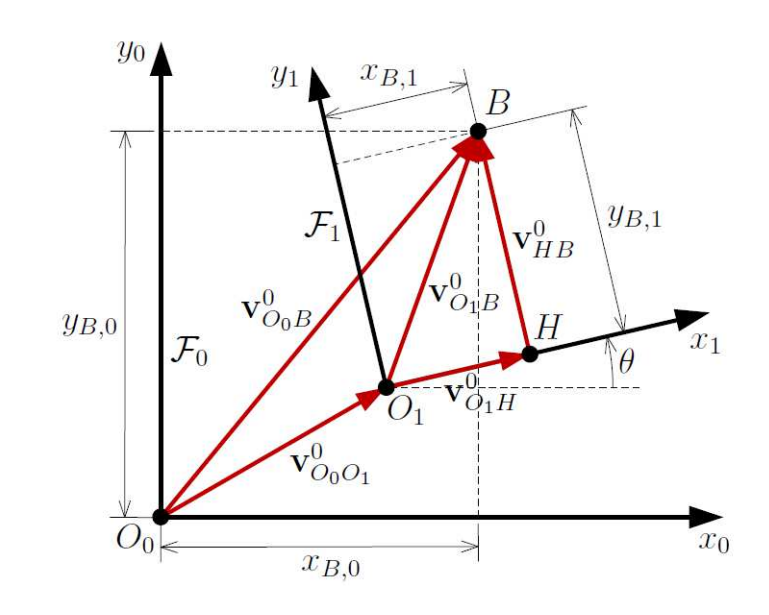
$$= \mathbf{v}_{O_{0}O_{1}}^{0} + \begin{bmatrix} x_{B,1}\cos\theta \\ x_{B,1}\sin\theta \end{bmatrix} + \begin{bmatrix} y_{B,1}\cos(\theta + 90^{\circ}) \\ y_{B,1}\sin(\theta + 90^{\circ}) \end{bmatrix}$$

$$= \mathbf{v}_{O_{0}O_{1}}^{0} + \begin{bmatrix} x_{B,1}\cos\theta \\ x_{B,1}\sin\theta \end{bmatrix} + \begin{bmatrix} -y_{B,1}\sin\theta \\ y_{B,1}\cos\theta \end{bmatrix}$$

$$= \mathbf{v}_{O_{0}O_{1}}^{0} + \begin{bmatrix} x_{B,1}\cos\theta - y_{B,1}\sin\theta \\ x_{B,1}\sin\theta + y_{B,1}\cos\theta \end{bmatrix}$$

$$= \mathbf{v}_{O_{0}O_{1}}^{0} + \begin{bmatrix} \cos\theta - \sin\theta \\ \sin\theta - \cos\theta \end{bmatrix} \begin{bmatrix} x_{B,1} \\ y_{B,1} \end{bmatrix}$$

$$\mathbf{R}_{1}^{0} = \mathbf{v}_{O_{0}O_{1}}^{0} + \mathbf{R}_{1}^{0}\mathbf{v}_{O_{1}B}^{1},$$



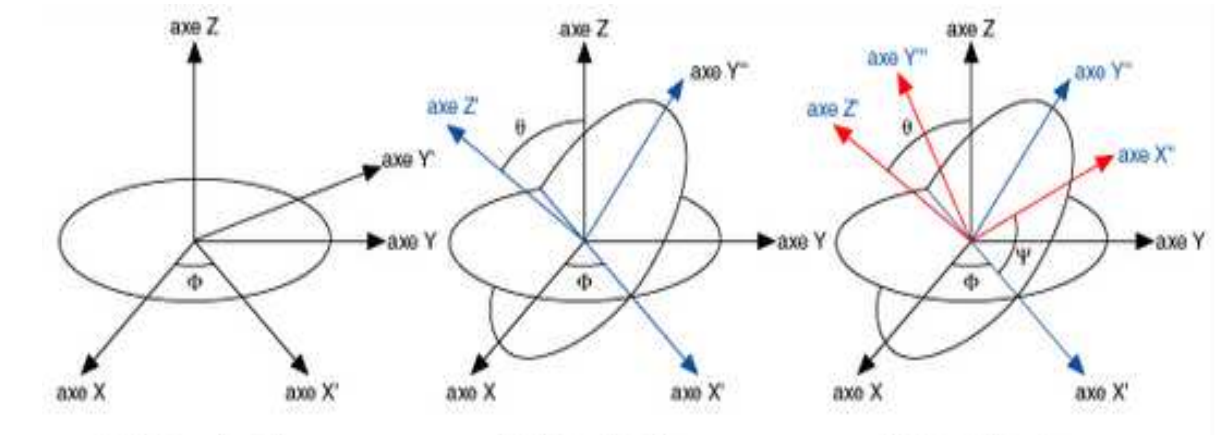
$$\mathbf{R}_1^0 = \begin{bmatrix} \cos\theta & -\sin\theta \\ \sin\theta & \cos\theta \end{bmatrix}$$
 Coordonnées de x1 dans Ro

Coordonnées de y1 dans Ro



Généralisation au cas 3D

Définition des angles d'Euler 3 rotations successives



Rotation sur l'axe X'

$$R_{12} = \begin{pmatrix} C_{\phi} & -S_{\phi} & 0 \\ S_{\phi} & C_{\phi} & 0 \\ 0 & 0 & 1 \end{pmatrix}$$

$$R_{12} = \begin{pmatrix} C_{\phi} & -S_{\phi} & 0 \\ S_{\phi} & C_{\phi} & 0 \\ 0 & 0 & 1 \end{pmatrix} \qquad R_{23} = \begin{pmatrix} 1 & 0 & 0 \\ 0 & C_{\theta} & -S_{\theta} \\ 0 & S_{\theta} & C_{\theta} \end{pmatrix} \qquad R_{34} = \begin{pmatrix} C_{\psi} & -S_{\psi} & 0 \\ S_{\psi} & C_{\psi} & 0 \\ 0 & 0 & 1 \end{pmatrix}$$

D'où la matrice de rotation.

$$R_{14} = R_{z1,\Phi}R_{x2,\theta}R_{z3,\psi} = R_{12}R_{23}R_{34}$$

$$R_{14} = \begin{pmatrix} (C_{\phi}C_{\psi} - S_{\phi}C_{\theta}S_{\psi}) & (-C_{\phi}S_{\psi} - S_{\phi}C_{\theta}C_{\psi}) & (S_{\phi}S_{\theta}) \\ (S_{\phi}C_{\psi} + C_{\phi}C_{\theta}S_{\psi}) & (-S_{\phi}S_{\psi} + C_{\phi}C_{\theta}C_{\psi}) & -C_{\phi}S_{\theta} \\ S_{\theta}S_{\psi} & S_{\theta}C_{\psi} & C_{\theta} \end{pmatrix}$$



La notion de matrice homogène

Un point P de E3 peut être représenté par ses coordonnées dites homogènes sous la forme d'un vecteur (x,y,z,t). Si t=1, les coordonnées après déplacement sont liées aux coordonnées avant déplacement par la relation :

Matrice homogène 4X4 qui caractérise le déplacement

Relation de composition des déplacements

$$T_{02} = T_{01}T_{12}$$

$$\begin{pmatrix} P_0 \\ 1 \end{pmatrix} = \begin{pmatrix} R_{01} & d_{01} \\ 0 & 1 \end{pmatrix} \begin{pmatrix} R_{12} & d_{12} \\ 0 & 1 \end{pmatrix} \begin{pmatrix} P_2 \\ 1 \end{pmatrix} = \begin{pmatrix} R_{01}R_{12} & R_{01}d_{12} + d_{01} \\ 0 & 1 \end{pmatrix} \begin{pmatrix} P_2 \\ 1 \end{pmatrix}$$



Généralisation du modèle géométrique direct : Méthode de Denavit-Hartenberg

Objectif: définir un référentiel sur chaque lien avec une méthode systématique qui simplifie l'expression des matrices de rotation.

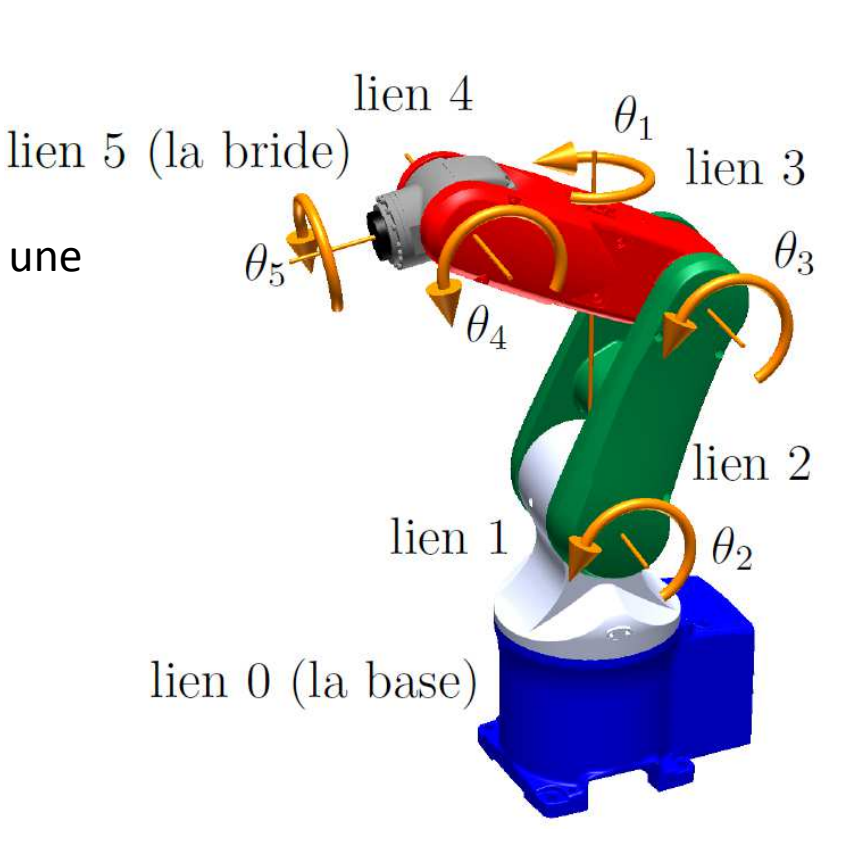


e:

Paramétrage avec deux contraintes :

- → L'axe Zi est aligné avec l'axe de la liaison pivot i+1
- → L'axe xi coupe l'axe Zi-1 à angle droit

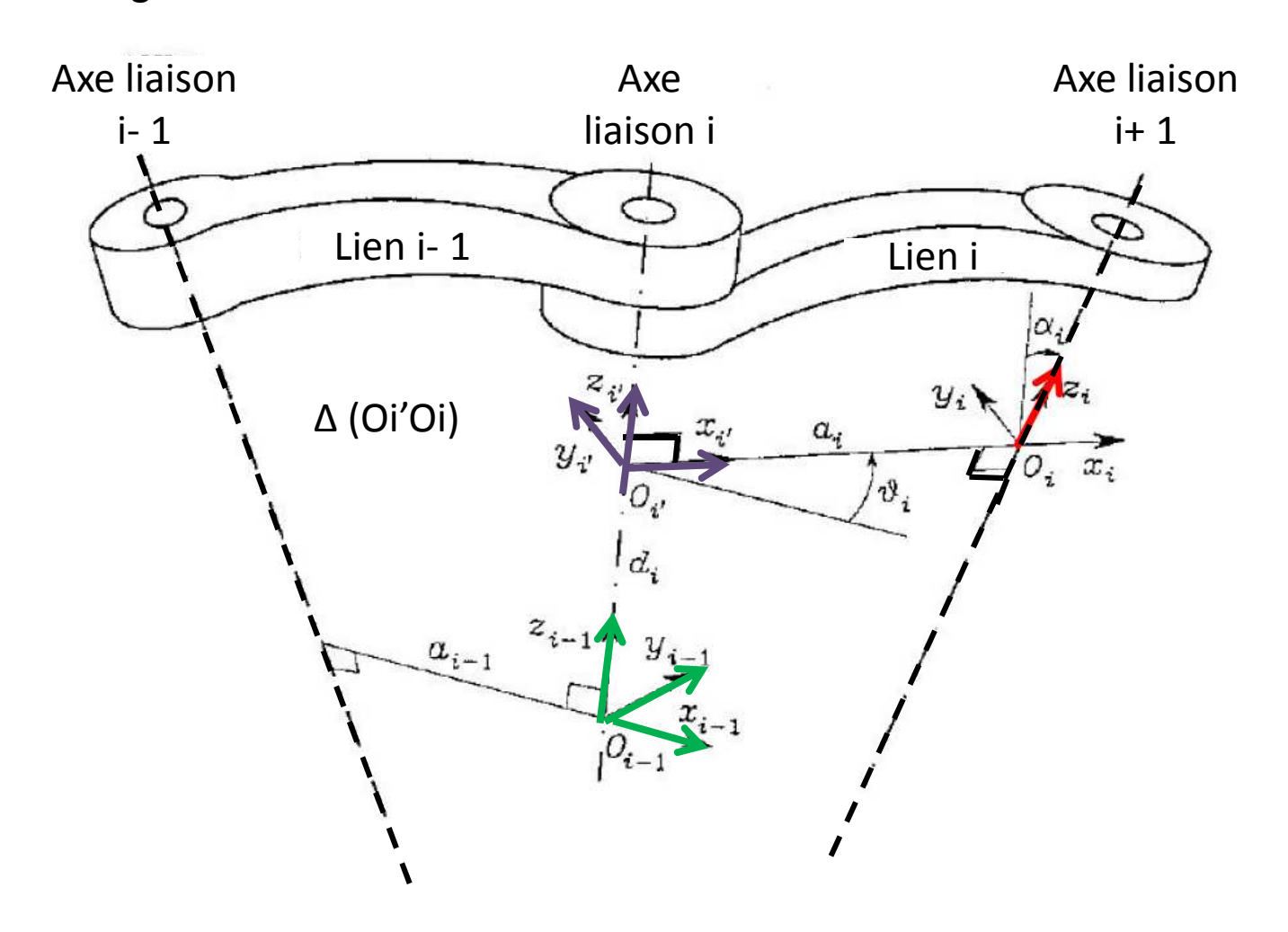
Seuls 4 paramètres (deux distances et deux angles) sont nécessaires (au lieu de 6) pour définir la position du repère Ri par rapport à Ri-1





Paramétrage selon la convention Denavit-Hartenberg

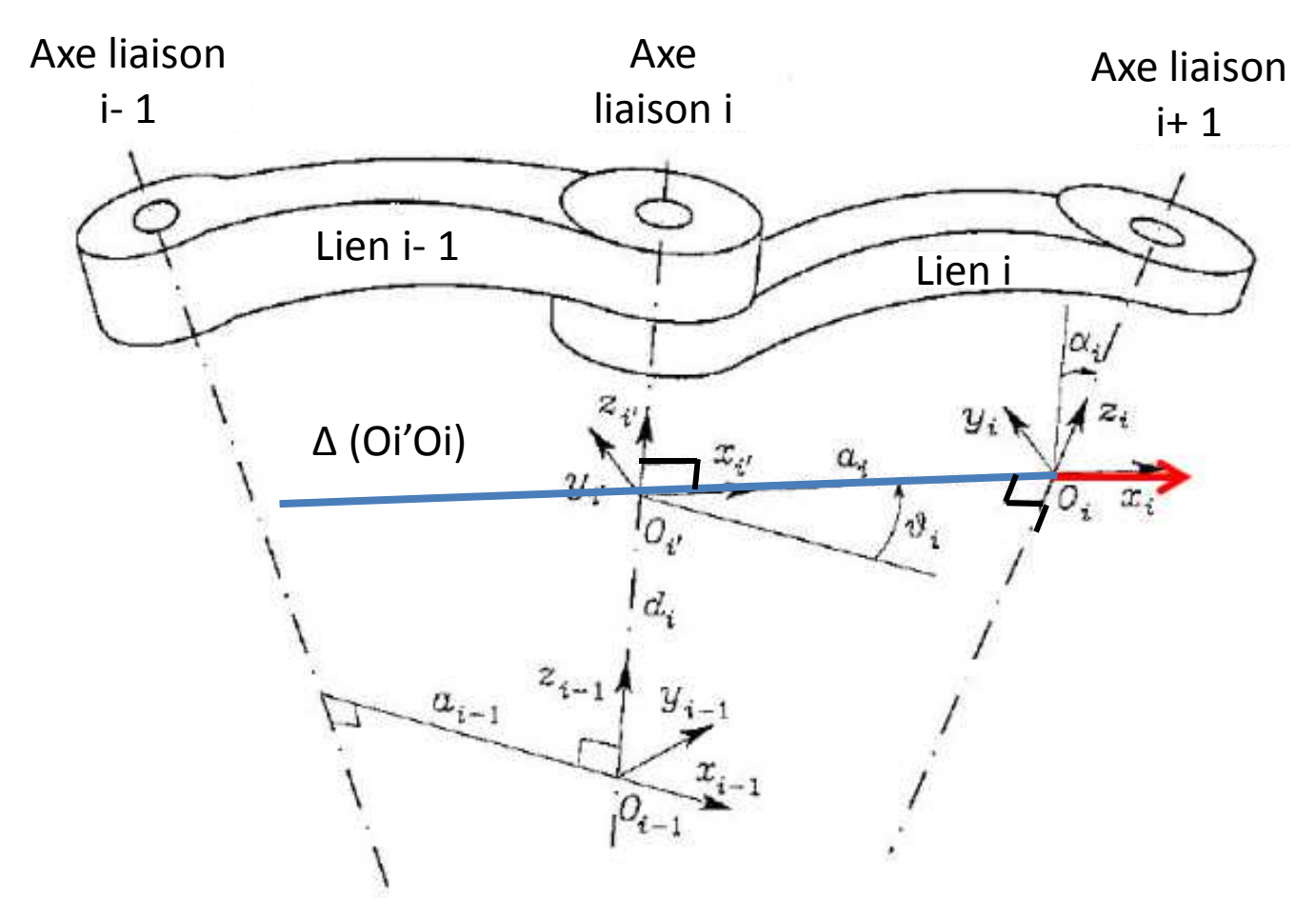
L'axe Zi est aligné avec l'axe de la liaison i+1





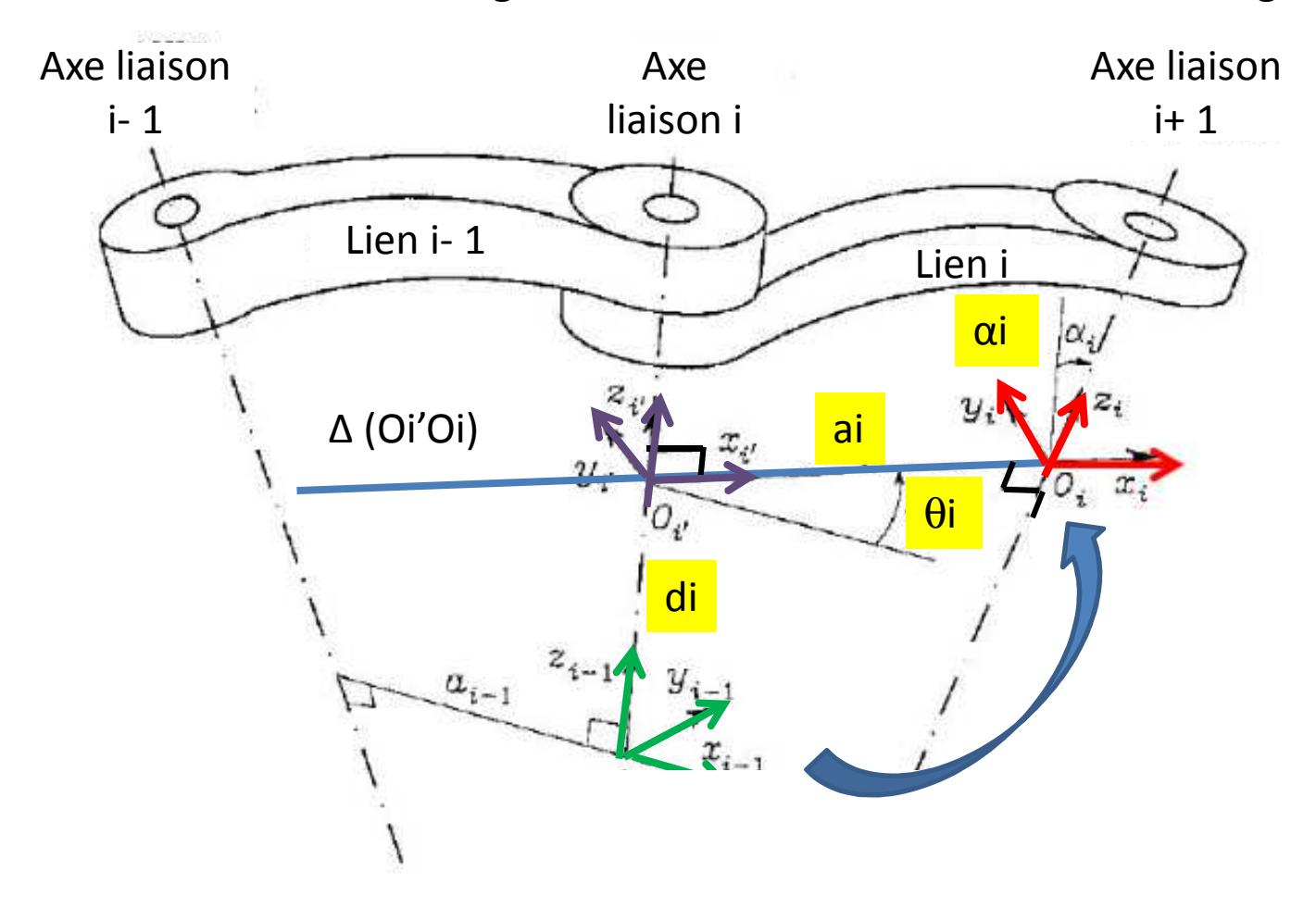
Paramétrage selon la convention Denavit-Hartenberg

L'axe xi est perpendiculaire à l'axe zi-1 et passe par Oi Avec Δ (Oi'Oi) perpendiculaire commune à (Zi-1) et (Zi)

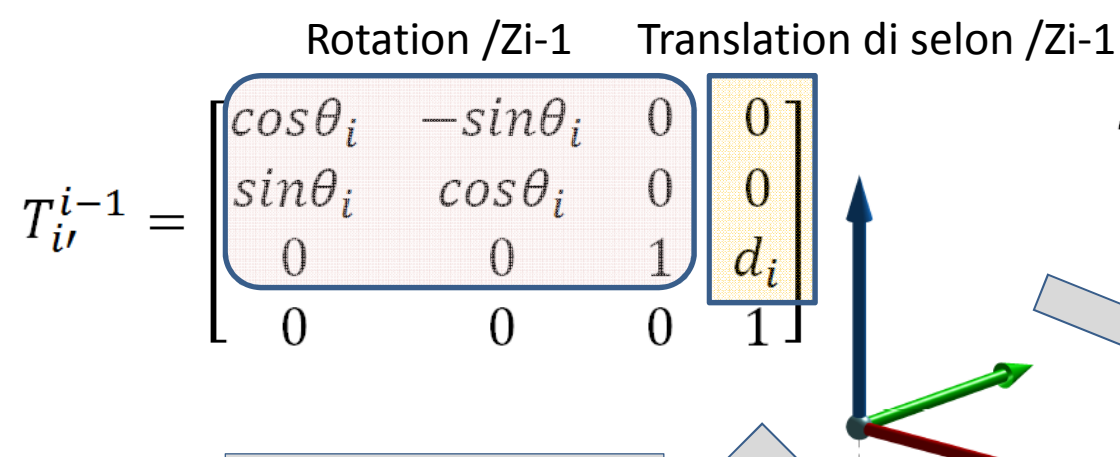




Paramétrage selon la convention Denavit-Hartenberg

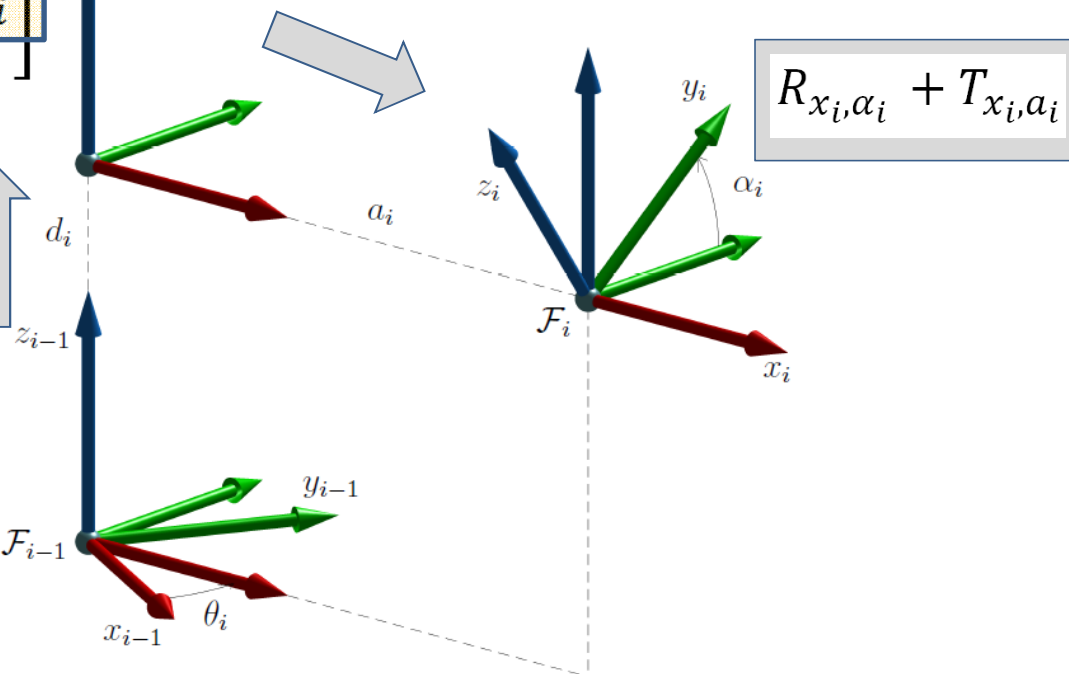






$$\left| R_{Z_{i-1},\theta_i} + T_{Z_{i-1},d_i} \right|$$

D'où finalement, la matrice Homogène correspondante :



 $T_i^{i\prime} = \begin{bmatrix} 1 & 0 & 0 & a_i \\ 0 & \cos \alpha_i & -\sin \alpha_i & 0 \\ 0 & \sin \alpha_i & \cos \alpha_i & 0 \\ 0 & 0 & 0 & 1 \end{bmatrix}$

$$T_{i}^{i-1} = \begin{bmatrix} \cos \theta_{i} & -\sin \theta_{i} \cos \alpha_{i} & \sin \theta_{i} \sin \alpha_{i} & a_{i} \cos \theta_{i} \\ \sin \theta_{i} & \cos \theta_{i} \cos \alpha_{i} & -\cos \theta_{i} \sin \alpha_{i} & a_{i} \sin \theta_{i} \\ 0 & \sin \alpha_{i} & \cos \alpha_{i} & d_{i} \\ 0 & 0 & 0 & 1 \end{bmatrix}$$

- Matrice homogène de rotation
 - Rotation suivant x

$$H_{rot,x}(\alpha) = egin{bmatrix} 1 & 0 & 0 & 0 \ 0 & \cos \alpha & -\sin \alpha & 0 \ 0 & \sin \alpha & \cos \alpha & 0 \ 0 & 0 & 0 & 1 \end{bmatrix}$$

Rotation suivant y

$$H_{rot,y}(\beta) = egin{bmatrix} \cos \beta & 0 & \sin \beta & 0 \ 0 & 1 & 0 & 0 \ -\sin \beta & 0 & \cos \beta & 0 \ 0 & 0 & 0 & 1 \end{bmatrix}$$

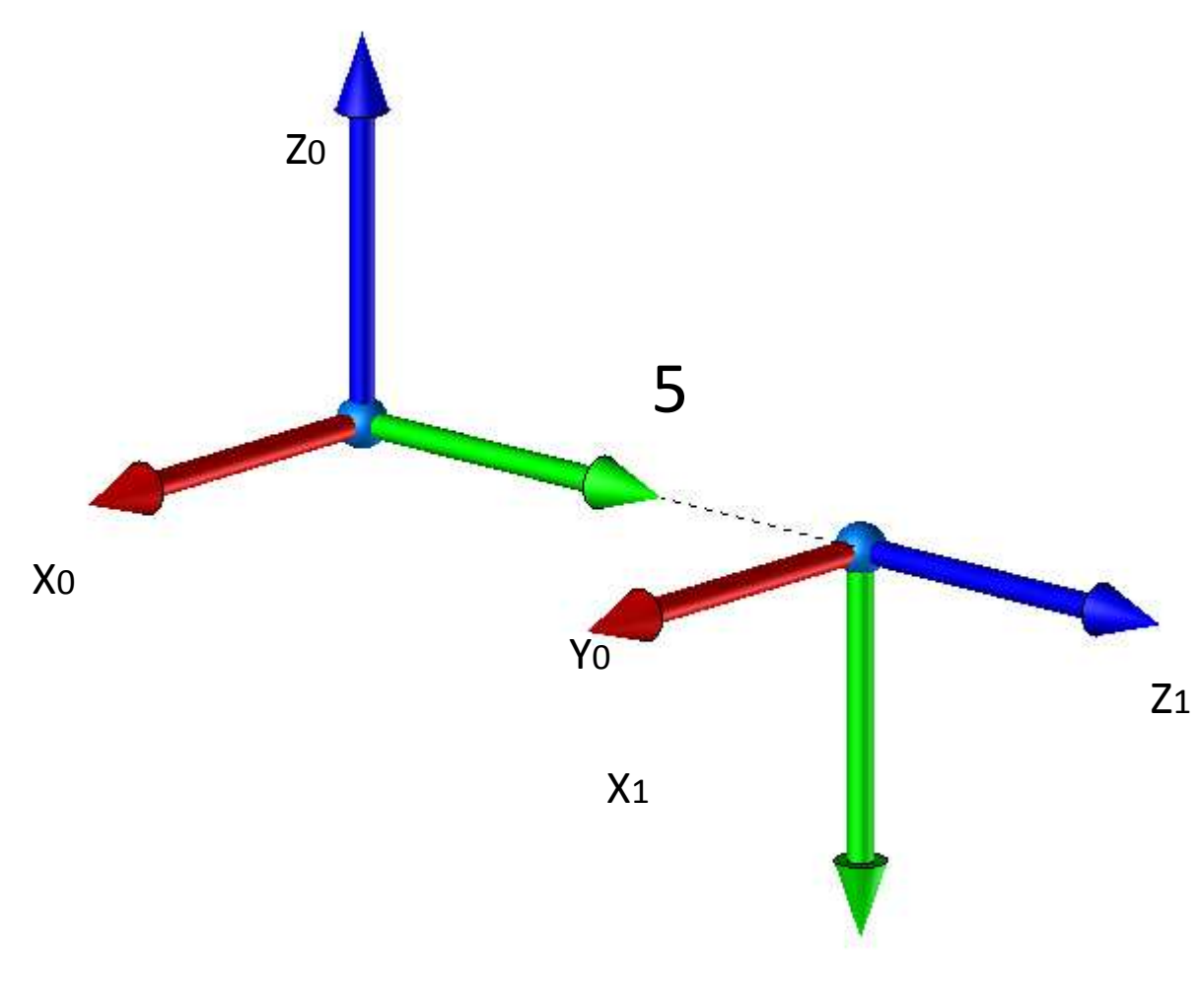
Rotation suivant z

$$H_{rot,z}(\gamma) = egin{bmatrix} \cos \gamma & -\sin \gamma & 0 & 0 \ \sin \gamma & \cos \gamma & 0 & 0 \ 0 & 0 & 1 & 0 \ 0 & 0 & 0 & 1 \end{bmatrix}$$





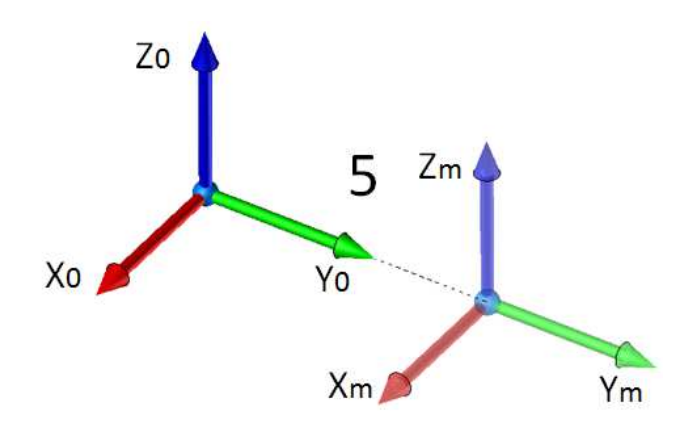
Exemple 1



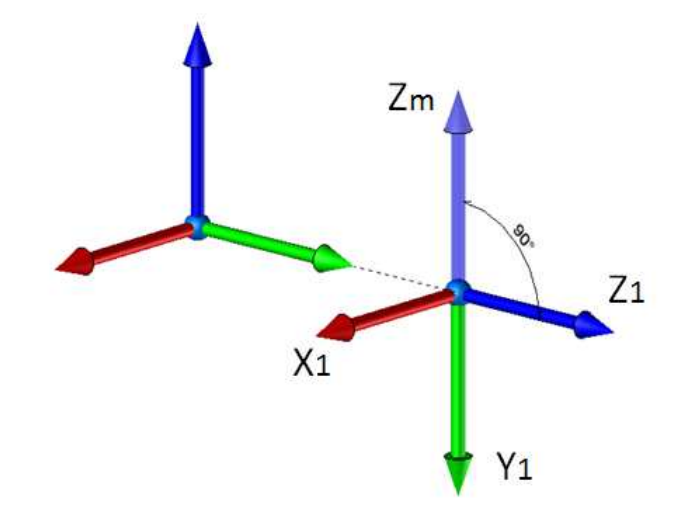
Exemple 1

- Cas 1

$$H_1^0 = H_{trans}(0.5.0)H_{rot,x}(-90^\circ)$$



$$H_{trans} = egin{bmatrix} 1 & 0 & 0 & 0 \ 0 & 1 & 0 & 5 \ 0 & 0 & 1 & 0 \ 0 & 0 & 0 & 1 \end{bmatrix}$$



$$H_{rot,x}(\alpha) = \begin{bmatrix} 1 & 0 & 0 & 0 \\ 0 & \cos(-90^{\circ}) & -\sin(-90^{\circ}) & 0 \\ 0 & \sin(-90^{\circ}) & \cos(-90^{\circ}) & 0 \\ 0 & 0 & 0 & 1 \end{bmatrix}$$

Exemple 1

— Cas 1

$$H_1^0 = H_{trans}(0,5,0)H_{rot,x}(-90^\circ)$$

$$H_1^0 = \begin{bmatrix} 1 & 0 & 0 & 0 \\ 0 & 1 & 0 & 5 \\ 0 & 0 & 1 & 0 \\ 0 & 0 & 0 & 1 \end{bmatrix} \begin{bmatrix} 1 & 0 & 0 & 0 \\ 0 & \cos(-90^\circ) & -\sin(-90^\circ) & 0 \\ 0 & \sin(-90^\circ) & \cos(-90^\circ) & 0 \\ 0 & 0 & 0 & 1 \end{bmatrix}$$

$$\begin{bmatrix} \mathbf{1} & 0 & 0 & 0 \\ \mathbf{0} & 0 & 1 & 0 \\ \mathbf{0} & -1 & 0 & 0 \\ \mathbf{0} & 0 & 0 & 1 \end{bmatrix}$$

[1	0	0	0
0	1	0	5
0	0	1	0
0	0	0	1

$$\begin{bmatrix} 1 & 0 & 0 & 0 \\ 0 & 0 & 1 & 5 \\ 0 & -1 & 0 & 0 \\ 0 & 0 & 0 & 1 \end{bmatrix}$$

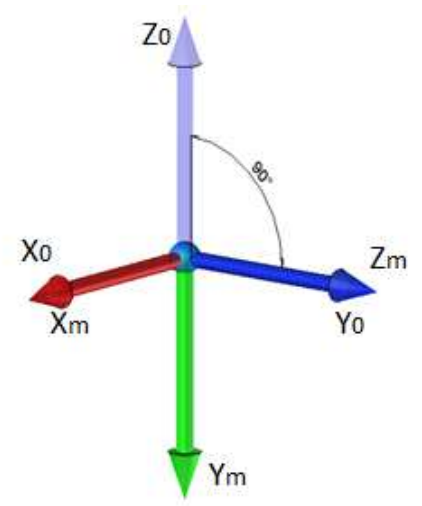
$$H_1^0 = \begin{bmatrix} 1 & 0 & 0 & 0 \\ 0 & 0 & 1 & 5 \\ 0 & -1 & 0 & 0 \\ 0 & 0 & 0 & 1 \end{bmatrix}$$

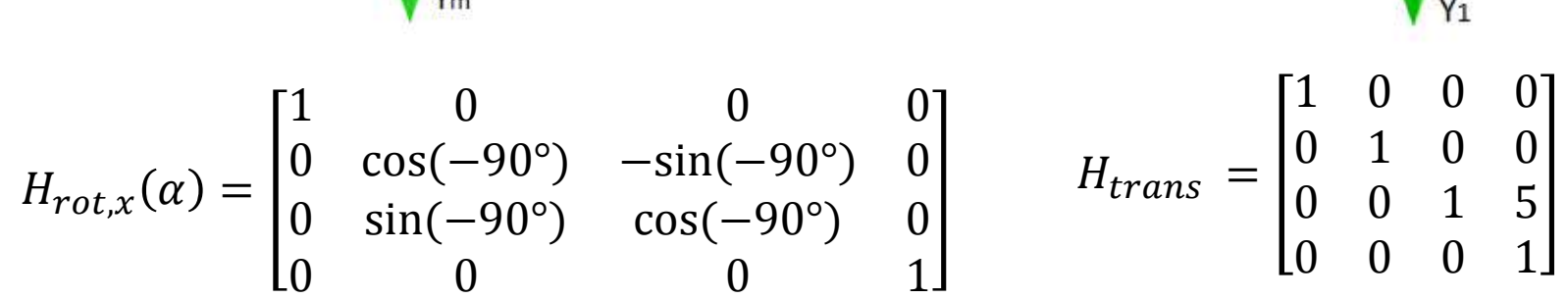


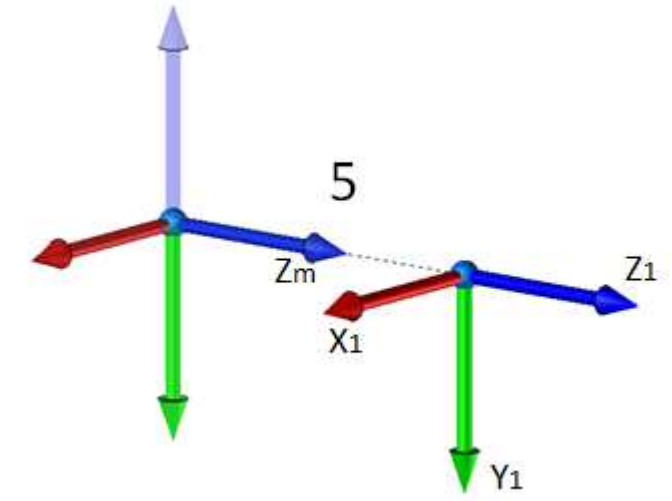
Exemple 1

— Cas 2

$$H_1^0 = H_{rot,x} (-90^\circ) H_{trans} (0,0,5)$$







$$H_{trans} = \begin{bmatrix} 1 & 0 & 0 & 0 \\ 0 & 1 & 0 & 0 \\ 0 & 0 & 1 & 5 \\ 0 & 0 & 0 & 1 \end{bmatrix}$$

Exemple 1

— Cas 1

$$H_1^0 = H_{rot,x} (-90^\circ) H_{trans} (0,0,5)$$

$$H_1^0 = \begin{bmatrix} 1 & 0 & 0 & 0 \\ 0 & \cos(-90^\circ) & -\sin(-90^\circ) & 0 \\ 0 & \sin(-90^\circ) & \cos(-90^\circ) & 0 \\ 0 & 0 & 0 & 1 \end{bmatrix} \begin{bmatrix} 1 & 0 & 0 & 0 \\ 0 & 1 & 0 & 0 \\ 0 & 0 & 1 & 5 \\ 0 & 0 & 0 & 1 \end{bmatrix}$$

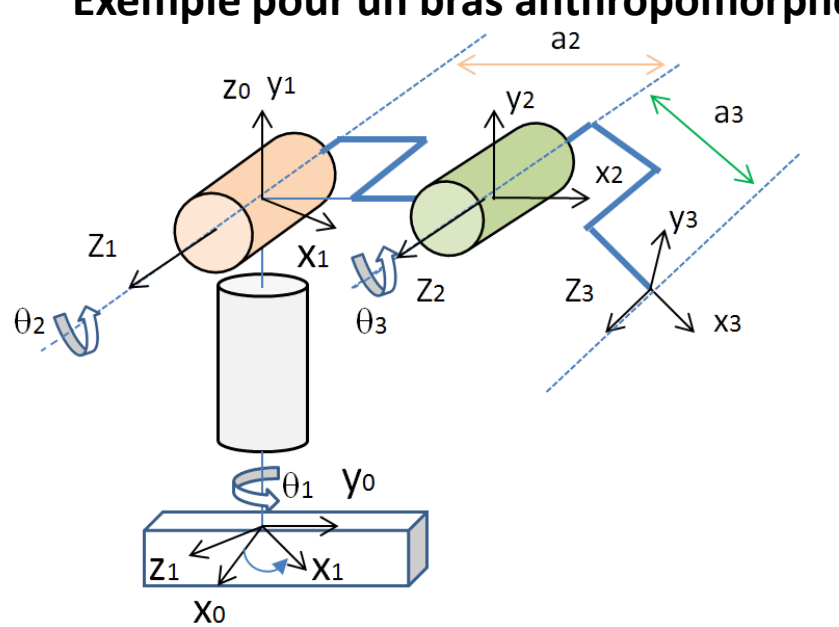
$$\begin{bmatrix} 1 & 0 & 0 & 0 \\ 0 & 1 & 0 & 0 \\ 0 & 0 & 1 & 5 \\ 0 & 0 & 0 & 1 \end{bmatrix}$$

$$\begin{bmatrix} 1 & 0 & 0 & 0 \\ 0 & 0 & 1 & 0 \\ 0 & -1 & 0 & 0 \\ 0 & 0 & 0 & 1 \end{bmatrix} \qquad \begin{bmatrix} 1 & 0 & 0 & 0 \\ 0 & 0 & 1 & 5 \\ 0 & -1 & 0 & 0 \\ 0 & 0 & 0 & 1 \end{bmatrix}$$

$$H_1^0 = \begin{bmatrix} 1 & 0 & 0 & 0 \\ 0 & 0 & 1 & 5 \\ 0 & -1 & 0 & 0 \\ 0 & 0 & 0 & 1 \end{bmatrix}$$



Exemple pour un bras anthropomorphe à 3 liaisons



	X1/R0	Y1/Ro	Z1/Ro	
	$cos\theta_1$	0	$sin\theta_1$	[0
$T_1^0 =$	$sin\theta_1$	0	$-cos\theta_1$	0
¹ 1 -	0	1	0	0
	Lo	0	0	1

Liaison	ai	αί	di	θί
1	0	$-\pi/2$	0	θ1
2	a2	0	0	θ2
3	a3	0	0	θ3

$$T_{i'}^{i-1} = \begin{bmatrix} \cos\theta_i & -\sin\theta_i & 0 & a_i\cos\theta_i \\ \sin\theta_i & \cos\theta_i & 0 & a_i\sin\theta_i \\ 0 & 0 & 1 & 0 \\ 0 & 0 & 0 & 1 \end{bmatrix} \text{ pour i=2,3}$$

A/RO

$$T_3^0 = \begin{bmatrix} C_1 C_{23} & -C_1 S_{23} & S_1 \\ S_1 C_{23} & -S_1 S_{23} & -C_1 \\ S_{23} & C_{23} & 0 \\ 0 & 0 & 0 \end{bmatrix} \begin{bmatrix} -C_1 (a_2 C_2 + a_3 C_{23}) \\ S_1 (a_2 C_2 + a_3 C_{23}) \\ a_2 S_2 + a_3 S_{23} \\ 1 \end{bmatrix}_{61}$$